

МИНИСТЕРСТВО ГЕОЛОГИИ И ОХРАНЫ НЕДР СССР  
ИРКУТСКОЕ ГЕОЛОГИЧЕСКОЕ УПРАВЛЕНИЕ

# ГЕОЛОГИЧЕСКАЯ

## КАРТА СССР

масштаба 1:200000

СЕРИЯ ПРИБАЙКАЛЬСКАЯ

ЛИСТ N-49-IX

ОБЪЯСНИТЕЛЬНАЯ ЗАПИСКА

Составили А. В. Колесников и З. М. Анисимова

Редактор П. М. Хренов

Утверждено Научно-редакционным советом ВСЕГЕИ  
20 февраля 1958 г., протокол № 8



ГОСУДАРСТВЕННОЕ НАУЧНО-ТЕХНИЧЕСКОЕ ИЗДАТЕЛЬСТВО  
ЛИТЕРАТУРЫ ПО ГЕОЛОГИИ И ОХРАНЕ НЕДР  
МОСКВА 1960

## ВВЕДЕНИЕ

Площадь листа N-49-IX административно относится к Бурятской Автономной Советской Социалистической Республике и входит в состав Северо-Байкальского и Кураминского аймаков. Территория листа ограничена координатами 110—111° в. д. и 54°40'—55°20' с. ш.

## ГЕОГРАФИЧЕСКИЙ ОЧЕРК

В орографическом отношении район представляет собой высокогорную сильно расчлененную область с альпинотипными формами рельефа. Главной орографической единицей района является Баргузинский хребет, с которым связаны наивысшие абсолютные отметки, колеблющиеся в пределах 2200—2600 м. Максимальная отметка хребта здесь равна 2714 м. Баргузинский хребет имеет асимметричное строение.

Резкая расчлененность рельефа Баргузинского хребта в значительной степени связана с проявлением интенсивного оледенения минувшей эпохи. Для хребта характерны ледниковые формы рельефа, представленные карами, цирками, трогами и множеством ледниковых озер, врезанных в коренные породы.

Реки района разделяются на две группы: к первой относятся реки, текущие в оз. Байкал,—Томпуда с крупными притоками Толо, Ирканда, Согзённая (Согдиондон), Шегнанда, Кабанья, Тулунная, Амнундакан, Сиригли (Ширильды); ко второй—реки системы р. Баргузин — Улогна (Улон-Улонная), Алла, Сухитко, Ендыыхк, Шеберсо, Олсо, Индихон, Долсы, Талинга.

Наиболее крупными реками района являются Баргузин, Томпуда, Шегнанда, Сиригли, Улогна и Алла. Почти все они типично горные реки с очень бурным течением, водопадами, порогами, теснинами и перекатами. Исключение представляет р. Баргузин, которая протекает в крайней юго-восточной части листа на протяжении около 20 км. На этом отрезке она доступна для передвижения на плотах и моторных лодках. Здесь р. Баргузин является вполне спокойной рекой, текущей по широкой равнине Баргузинской впадины, сравнительно густо заселенной.

Река Томпуда заходит в пределы листа своим верхней и средней частями, а Шемланда и Кабанья — верхними частями. Для лодочного транспорта и сплава на плотах они непригодны. Переправляться по ним можно лишь вброд в определенных местах и в Межень.

Река Улогна имеет длину 60 км. Благодаря большой площади водосбора она является сравнительно многоводной рекой, имеющей широкую лесистую, проходимую для конно-вьючного транспорта долину. Переправляться через реку можно только вброд.

Река Алла имеет длину 45 км, очень бурная и быстрая. Вырываясь из гор, она разливается на несколько проток и созданных человеком оросительных каналов. Переправляться через р. Аллу можно вброд во многих местах и в межень.

Климат района резко континентальный, со значительными колебаниями годовой и суточной температуры. Данная территория находится в полосе отрицательных среднегодовых температур (минус 3—6°). В климатическом отношении район неодннаков. В нем можно выделить микроклимат Баргузинской впадины, который менее суров. Снег здесь выпадает довольно поздно, тает рано. Лето очень жаркое и сухое, зима холодная с яркими морозными днями.

Населенным пунктом на площасти листа является поселок Айла, который вместе с поселком Ягдаг, расположенным в устье р. Улогны, объединен в колхоз им. Ленина.

Население представлено в основном бурятами, меньше русскими и эвенками. Основное их занятие скотоводство, частично земледелие и охота.

В горной части района возможно передвижение только с помощью оленя и конно-вьючного транспорта. Лишь в Баргузинской владине существуют хорошие автомобильные и лесные дороги.

## ГЕОЛОГИЧЕСКАЯ ИЗУЧЕННОСТЬ

Первые достоверные геологические сведения о районе были получены И. А. Лопатиным (1865). В результате его исследования была составлена маршрутная карта и кратко описаны встреченные породы.

В 1911 г. в северо-западной части Баргузинского района (северная часть площади листа № 49-IX) геологические исследования проводил В. К. Котульский (1913). Встреченные породы он разделил на метаморфическую и кристаллическую свиты, но не высказал своего мнения о возрасте и их взаимоотношении. Котульский отметил пиритизацию метаморфической толщи, которая проявлена около кварцевых и кварц-карбонатных жильев пневматического происхождения. Золотонасность района он связывает с пиритизированными городами. Им под-

робно описан рельеф страны, особенно его ледниковые формы, а также отмечено наличие террас в долинах рек.

В 1939 г. Восточно-Сибирское геологическое управление организовало съемку в масштабе 1 : 1 000 000 под руководством Е. В. Домбровского (1940). Этой съемкой была охвачена вся площадь Ангаро-Баргузинского района, что дало возможность Домбровскому впервые наметить стратиграфическую схему для этой территории. Им были выделены следующие свиты.

1. Баргузинская — кристаллические известняки, сланцы и гнейсы (архей).

2. Няндоминская — слабо метаморфизованные сланцы с прослойями известняков (протерозой).

3. Уколкитская — конгломераты, песчаники, сланцы (нижний кембрий).

4. Катерская — разнообразные сланцы (нижний кембрий).

5. Бирамынская — известняки с прослойями сланцев (средний кембрий).

По мнению В. В. Домбровского, эта схема условна. Изверженные породы он подразделяет на две интрузии, одна из которых проявилась в Докембрийское время, другая в послекембрийское. Разнообразное оруднение В. В. Домбровский генетически связывает с более молодой интрузией.

Развитие рельефа Ангаро-Баргузинского района рассматривается им в тесной связи с новейшими тектоническими движежениями, вызвавшими, в частности, образование Байкальской, Ангарской и Баргузинской владин. Описываются многочисленные признаки обширного оледенения.

В 1940 г. непосредственно на площасти листа Б. А. Аверьянов производил геологическую съемку масштаба 1 : 1 000 000. Он дает несколько иную стратиграфическую схему и выделяет две свиты:

1. Таланчанская — амфиболиты, амфиболовые гнейсы, слюдистые сланцы, слюдистые кварциты и кристаллические известняки (архей).

2. Шаманская — кристаллические известняки с редкими прослоями амфиболитов, переходящими постепенно путем переслаивания в толщу графитовых сланцев и графитовых кварцитов; метаморфизованные кварциты и песчаники, сланцы, аргиллиты, кристаллические известняки и частично мигматиты (нижний протерозой). Шаманская свита соответствует няндоминской и баргузинской свитам В. В. Домбровского.

Б. А. Аверьяновым выделяются в районе три этапа вулканизма: 1) гранито-гнейсы (архей); 2) габбро, базокварцевые порфириты и микроклиновые граниты (нижний протерозой) и 3) комплекс порфировидных гранитов (верхний протерозой).

В 1946 г. Н. И. Фомин произвел съемку масштаба 1 : 200 000 в бассейнах рек Улюна (Улогна), Бирамы и вер-

ховьих р. Баргузина. Он выделил баргузинскую и няндвинскую свиты, придерживаясь взглядов Домбровского. В отличие от В. В. Домбровского он отрицает самостоятельность стратиграфического значения уколитской, бирюльинской и няндвинской свит и указывает, что они образуют единую молчную няндвинскую свиту. По его мнению, в основании няндвинской свиты лежат конгломераты (уколитская свита Домбровского), выше согласно залегают известники (бирюльинская свита Домбровского) и самим верхним горизонтом являются сланцы (нижний ярус). Выше ее определяется как берхий протерозой — нижний палеозой. Н. И. Фомин предполагает, что няндвинская свита залегает с угловым несогласием на баргузинской свите.

Магматические породы в возрастном отношении он делит на две группы. Древнейшая из них — доверхнепротерозойского времени — представлена гнейсовидными гранитами, переходящими фациально в гранодиориты и диориты.

В 1947 г. северо-восточнее площади описываемого листа производил съемку Л. И. Салоп. Метаморфический комплекс пород он разделил на две формации: катерскую и кадарскую. Более древняя катерская формация состоит из четырех свит: уколитской, сложенной туфогенными песчаниками и сланцами; анаджанской, представленной хлорит-серпентитовыми и другими сланцами с прослоями круглокристаллических известняков; няндвинской, состоящей из черных мелко- и среднекристаллических известняков, часто оолитовых, переслаивающихся с черными углистыми сланцами; яичной, сложенной серпентитовыми сланцами, переслаивающимися с различными филлитами.

Салоп указывал, что в зоне интенсивного регионально-контактового метаморфизма, связанного с внедрением гранитоидов баргузинского комплекса, из филлитов и сланцев возникают блотитовые и биотитово-амфиболитовые гнейсы вплоть до инъкционных гнейсов, а черные известники превращены в светлые мраморы.

Кадарская формация залегает несогласно на размытой поверхности структурно дислоцированной катерской формации. Салоп отрицает баргузинскую свиту как более древнюю. По его мнению, это та же катерская формация, но лежашая ближе к плутонию гранитоидов, где проявился больший метаморфизм, что послужило основанием для многих исследователей (Домбровский, Фомин) выделять ее в самостоятельную свиту. Он также показывает более высокое стратиграфическое положение карбонатных пород, относимых Домбровским к баргузинской свите, по сравнению с няндвинской свитой или анаджанской свитой Салопа.

Среди магматических пород Л. И. Салоп выделяет эфузионно-карбонатную или спилито-карбонатную формацию, дайковую формуацию пиритизированных карбонатов, интрузив-

ные залежи диабазов, комплекс гранитоидов I группы, комплекс гранитоидов II группы.

В 1950 г. в бассейнах рек Томпуды, Светлой и Фролихи И. М. Козулла и В. А. Самарский производили съемку масштаба 1 : 200 000. Авторы придерживаются взглядов Л. И. Салопа, с той лишь разницей, что, по их мнению, няндвинская свита с несогласием перекрывает анатакскую свиту.

В 1951 г. при проведении геологических поисков масштаба 1 : 50 000 в верховье р. Улогна И. М. Козулла и В. А. Самарский придерживаются уже стратиграфии Н. И. Фомина, однако высокометаморфизованные породы баргузинской свиты они объясняют влиянием гранитоидов и пегматитов.

С. А. Гурulev, В. Л. Каницкий и др. (1953), производившие поисковые работы в Намаминском рудном районе в масштабе 1 : 50 000, дают следующий стратиграфический разрез. В основании залегает нижний протерозой — намаминская свита: карбонатно-кварцево-хлоритовые, актинолитово-хлоритовые и актинолитовые сланцы, известняки, песчаники, кальцифиры. Затем следует перерыв в отложении. Выше залегают верхний протерозой — няндвинская свита, представленная горизонтами — конгломератов и полимиктовых песчаников, известняков, сланцев; баргузинская свита, представленная метаморфизованными известняками, гнейсами, кварцитами.

Возраст определяется условно. Няндвинская свита отделяется от намаминской угловым стратиграфическим несогласием. Няндвинская и баргузинская свиты, по мнению С. А. Гурулева, В. Л. Каницкого и других, залегают согласно.

В соответствии с перерывом в отложении выделяются два магматических цикла: нижнепротерозойский, объединяющий интрузию амфиболитовых ортонейсовых, ортоамфиболитов, интрузию розовых аляскитовых гранитов и связанных с ними пегматитов; верхнепротерозойский, объединяющий интрузии габбро-диабазов, габбро, габбро-диоритов и гранитоидов.

Условно к мезозойскому этапу вулканизма они относят дайковые тела лейкократовых гранитов, гранит-порфиров, фельзитов, плагиоклазитов и монцонитов.

В 1954 г. в бассейне р. Бирамы проводили геологическую съемку масштаба 1 : 50 000 Г. Ч. Шобогоров и В. М. Гика. На основании находки нижнекембрийской фауны трилобитов и археоплан в известняках в бассейне р. Бирамы имидается следующий разрез.

В основании залегает намаминская свита — карбонатно-кварцево-хлоритовые, роговообманково-хлоритовые сланцы, близи контактов превращенные в инъкционные блотитовые гнейсы с прослоями светлых кристаллических известняков ( $Pt_2$ ). Выше залегает няндвинская серия (кембрий), в которую входит уколитская свита — базальные конгломераты и полимик-

тевые песчаники, известняки и доломиты с фауной; бирамиди-  
ская свита — горизонт карбонатных конгломератов и доломи-  
товых известняков и ниандонинская свита — эффиузы, туфы и  
сланцы.

В 1954—1955 гг. в северо-восточной части данного листа и  
за его пределами в бассейне р. Намамы Н. И. Фоминым и  
С. А. Гурулевым проводились разведочные работы на полиме-  
таллы. Они придерживаются стратиграфии П. Ч. Шобогорова

Большая часть площади листа, ранее закартированная  
авторами в 1954—1955 гг. геологической съемкой масштаба  
1 : 200 000. В результате проведенных работ было установлено,  
что разрез П. Ч. Шобогорова (1954) требует уточнения.

В частности, отнесение верхнепротерозойских пород ниандо-  
бинской свиты к кембрию им было произведено на основании  
взаимного налегания ниандонинской свиты на породы бирамиди-  
ской свиты. В действительности же контакт между этими сви-  
тами тектонический. Кроме того, галька базальных конгломе-  
ратов укокитской свиты содержится в своем составе породы ниан-  
динской свиты.

На основании материалов исследований предыдущих лет и  
данных, полученных работами Томпудинской (Колесников, Ани-  
симова, 1957) и Верхне-Ангарской съемочных партий (Шобо-  
горов и др., 1955) для Ангаро-Баргузинского района была выра-  
ботана единая стратиграфическая схема, в выработке которой  
принимал участие Л. И. Салоп.

В результате контрольного маршрута, проведенного совме-  
стно с сотрудниками Восточно-Сибирского филиала АН СССР  
(В. Г. Беличенко, А. С. Ескин) было установлено следующее.  
Намаминская и яндонинская свиты являются, по-видимому,  
одной свитой, причем первая слагает северо-западное, а вторую — юго-восточное крыло одной и той же синклинальной  
складки.

Кембрейские отложения представлены тремя свитами: ту-  
рийской (полимиктовые конгломераты, сланцы, мергели с про-  
слоями доломитов), застекающей в низах разреза, бирамиди-  
ской (доломиты с различной фауной), застекающей согласно на-  
туриской свите, и прандинской (карбонатные конгломераты,  
песчаники, сланцы с прослойками доломитов), венчающей раз-  
рез кембрия. Отложения кембрия с северо-востока и юго-запада  
ограничены мощными тектоническими зонами. Установлено  
термальное воздействие нижнепалеозойской интрузии на отло-  
жения кембрия.

Подтверждено более высокое стратиграфическое положение  
баргузинской свиты по отношению к яндонинской, а также то,  
что более высокий метаморфизм баргузинской свиты не есть  
следствие более древнего ее возраста, а обусловлен контакто-  
вым воздействием гранитоидов баргузинского комплекса.

При составлении данной обобщающей записи были ис-  
пользованы следующие материалы.

Результаты съемки, проведенной авторами с 1954—1955 гг.  
в масштабе 1 : 200 000 на площади 3000 км<sup>2</sup> в бассейнах рек  
Томпуды, Сиргиты, Аллы, Сухиты, Улогны и других рек, позво-  
лившие по-новому решить вопросы стратиграфии и тектоники  
исследуемого района.

Данные работ Н. И. Фомина, И. И. Церблинна, Ф. С. Коц-  
ких (1947) для бассейнов рек Намамы, Улогны и других (взя-  
ты геологические контуры и сведения к карте полезных иско-  
паемых).

Съемка П. Ч. Шобогорова и В. М. Гижи (в масштабе  
1 : 50 000) в бассейне р. Бирамы в связи с находкой фауны,  
послужившая основой для выделения кембрейских отложений.  
Кроме того, использованы материалы пликового опробования  
(Шобогоров, Гижя, 1954).

Материалы В. Н. Самарского (1951), на основании которых  
нанесены некоторые геологические контуры и дана оценка ни-  
келево-cobальтового оруденения в основных породах в вер-  
ховье р. Улогны.

Для составления геологической карты и карты полезных  
ископаемых использованы данные поисково-разведочных работ  
на полиметаллы, проведенных в северо-восточной части опи-  
сываемого листа (Фомин, Гурулев и др., 1951—1955 гг.).

В юго-западной части площади листа, в верховьях рек Ка-  
баньи и Шегнанды, в 1954 г. проводила съемку В. И. Навиль,  
материалы которой полностью использованы. В верховьях рек  
Шегнанды и Кабаньи метаморфические породы баргузинской  
свиты она выделяет в святоносскую толщу архея, разделяя на  
нижнюю Улурскую и верхнюю шегнандинскую свиты, и прово-  
дит сравнение со слюдянской свитой архея. С мнением В. И. На-  
виль о выделении здесь архея авторы данной записи не-  
согласны.

## СТРАТИГРАФИЯ

В геологическом строении центральной части Баргузинского  
хребта принимают участие осадочные, метаморфические и из-  
верженные породы, из которых наиболее распространены из-  
верженные породы.

В районе представлены архейские, верхнепротерозойские и  
кембрейские образования, разделенные между собой стратигра-  
фическим несогласием. Стратиграфический разрез для района  
имеет следующий вид (сверху вниз):

1. четвертичные отложения (Q);
- 1) современные аллювиальные отложения — alQ<sub>4</sub>;
- 2) отложения конусов выноса — r1Q<sub>4</sub>;
- 3) озерные и флювиогляциальные отложения — e — fglQ<sub>3</sub>;
- 4) ледниковые отложения — glQ<sub>3</sub>.

#### II. Кембрий (Ст).

1. Нижний и средний отделы. Иркандинская свита представлена в пизах разреза карбонатными конгломератами, которые выше сменяются песчаниками, сланцами, с прослоями и линзами доломитов.

2. Нижний отдел. Ленский ярус. Бирюминская свита сложена доломитами, доломитовыми известняками и частично известняками с фауной.

3. Нижний отдел. Алданский ярус (?) Турикская свита стоит в низах из конгломератов, которые вверх по разрезу сменяются гравелитами, песчаниками, сланцами, мергелями с прослоями доломитов.

#### III. Верхний протерозой ( $Pt_2$ ).

1. Баргузинская свита сложена преимущественно карбонатными породами с прослоями различных сланцев и микрокварцитов (последние наибольшее распространение имеют в низах свиты); в зоне высокого метаморфизма эти породы превращены в средне- и крупнокристаллические светлые мраморы с чешуйками графита и гнейса.

2. Нийлонинская свита представлена в нижней части мегаморфизованными средними по составу эфузивами с прослоями туфосланцев и туфопесчаников, в верхней — различными параллелизмами, микрокварцитами с прослоями и линзами известняков; в зоне высокого метаморфизма породы превращены в различные, гнейсы и кристаллические известняки с чешуйками графита.

#### IV. Архей (А).

Мивокская свита представлена различными гнейсами, амфиболитами.

#### АРХЕЙ

Архейские образования на площасти представлены мивокской свитой, являющейся низами таланчанской толщи, выделенной ранее Б. А. Аверьяновым и Л. И. Салопом (1940). Мивокская свита выделена В. И. Навиль (1956 г.) в соседнем к юго-западу районе, где образования архея пользуются широким распространением. Архейский возраст мивокской свиты устанавливается на основании сопоставления их с аналогичными глубоко метаморфизованными образованиями в других районах Прибайкалья, в частности на горе Святой Нос Ольхоне, районе Малого Моря и на южном побережье Байкала.

Архейские породы повсеместно метаморфизованы в условиях амфиболитовой или чарнокитовой фации (фация гипертеневых роговиков), чем они резко отличаются от пород протерозоя, среди которых наряду с глубоко измененными постоянно встречаются образование низших ступеней метаморфизма.

Мивокская свита. Архейские образования на площасти пользуются весьма ограниченным развитием и встречают-

ся только в районе среднего и верхнего течения р. Ниж. Слюнки в виде остатков кровли, слагая полосу северо-восточного простирания, не распространяясь далее на северо-восток. В юго-западном направлении данная полоса уходит за пределы листа в бассейны рек Уройка и Шенандь.

В состав мивокской свиты, по мнению В. И. Навиль, входят амфиболиты, биотитово-роговообманковые и роговообманковые гнейсы и приоксено-амфиболитовые кристаллические сланцы, иногда с биотитом.

Амфиболиты и другие образования этой группы по внешнему виду представляют собой однотипные, богатые темноцветными минералами, слагивающиеся из темного и черного цвета. Биотитово-роговообманковые и роговообманковые гнейсы в основном отличаются от амфиболитов повышенным содержанием в них кварца (от 15 до 25%). Текстура обеих разновидностей сланцеватая, иногда полосчатая, редко наблюдаются реликты брекчевидной текстуры. Из структур преобладают нематогранобластовая, гетеронематогранобластовая, реже лепидонематогранобластовая. Очень редко в амфиболитах встречается дабластовая структура.

Основными породообразующими минералами этой группы город являются роговая обманка и плагиоклаз. Кварц присутствует в гнейсах в виде породообразующего минерала, а в амфиболитах содержится не всегда и в виде второстепенной примеси. Из вторичных минералов содержатся: минералы эпилитовой группы (по плагиоклазу и роговой обманке), серцинит, иногда хлорит и очень редко карбонатный минерал. Из акессорных минералов обычно присутствуют титаномагнетит, сфен, рутил и апатит. Роговая обманка находится в переменных количественных соотношениях с плагиоклазом. В амфиболитах ее содержание колеблется от 40 до 90%, в гнейсах — от 15 до 40%. Содержание плагиоклаза в амфиболитах колеблется от 5 до 40% и в гнейсах — от 25 до 60%. Биотит в амфиболитах если и содержится, то в качестве незначительной примеси, в отдельных случаях достигая 2%. В гнейсах он присутствует почти всегда и содеражание его колеблется в пределах 8—10%.

Приоксено-роговообманковые кристаллические сланцы и гнейсы залягают согласно с роговообманковыми гнейсами и амфиболитами, обладают в основном теми же текстурными и структурными особенностями, которые характерны для вышеупомянутых амфиболитов и гнейсов, отличаются от них замечательным содержанием приоксена (от 10 до 60%), присутствием спорадически встречающегося скаполита и наличием в отдельных случаях брекчевидно-такситовой текстуры.

Вопрос о происхождении архейских образований решается двояко. Можно предполагать как осадочное, так и эфузивное их происхождение. Окончательное решение вопроса затруднено вследствие глубокого метаморфизма пород.

## ВЕРХНИЙ ПРОТЕРОЗОЙ

Няндоминская свита. Породы няндоминской свиты развиты по левобережью р. Томпуды, в бассейнах рек Топо, Бирамы, в верховье Намамы (Прав. Намама), образуя полосу северо-восточного простирания шириной от 10—12 км на юго-западе (р. Топо) до 2—5 км на северо-востоке (р. Бирамы, верховье р. Намамы). Резкое сокращение видимой мощности свиты в бассейне р. Бирамы обусловлено, по-видимому, сбросами. С юго-запада, в районе руч. Ниромакит, породы няндоминской свиты срезаны погруженной гранитоидов баргузинского комплекса. В северо-восточном направлении они протягиваются за пределы листа в бассейн р. Няндомы, где впервые были описаны и получили свое название няндоминской свиты (Домбровский, 1940). Следующая полоса пород няндоминской свиты простягивается по юго-восточному склону Баргузинского хребта в верховьях рек Талинга, Долсы и далее на северо-восток в верховьях рек Сухитке и Ендыыхык. На юго-востоке няндоминская свита контактирует с баргузинской свитой, согласно перекрывающимся отложениями последней.

О стратиграфическом положении няндоминской и баргузинской свит были высказаны различные взгляды. Разная степень метаморфизма этих свит дала основание некоторым исследователям относить баргузинскую свиту, как наиболее сильно метаморфизованную, либо к архею (Домбровский, 1940), либо к нижнему протерозою (Фомин, 1947). Другие исследователи (Салоп, 1948; Гурлев, Каникий, Штобогоров, Гика и Френкель, 1954; Штобогоров, Гика, 1955; Колесников, Анисимова, 1957), доказывают более высокое стратиграфическое положение баргузинской свиты по отношению к няндоминской и согласное их залегание между собой. Более высокий метаморфизм баргузинской свиты объясняется воздействием гранитоидов баргузинского комплекса, а также пегматитовых жил, сопровождающих данные гранитоиды. Кроме того, был установлен постепенный переход слабо метаморфизованных пород няндоминской свиты в высокометаморфизованные породы баргузинской свиты. Разрезы няндоминской свиты были детально изучены по руч. Ниромакит, р. Топо и в верховье р. Намама. Наиболее полно разрез представлен по руч. Ниромакит, пересекающему породы няндоминской свиты вкрест простирания с северо-запада на юго-восток (рис. 1).

Разрез начинается метаморфизованными эфузивами, туфосланцами и туфопесчаниками с прослоями карбонатных пород и серicit-хлоритовых сланцев. Эти породы характеризуются невыдержанностью как по простиранию, так и по мощности. Так, в нижнем течении р. Даверен (левый приток р. Томпуды, впадающий выше р. Топо) они отсутствуют. Далее на северо-восток появляются линзы и маломощные прослои, мощность ко-

торых в бассейне р. Лев. Бирамы увеличивается до 400—500 м. Мощность эфузивов в приустьевой части руч. Ниромакит достигает 1 км. Эфузивы обычно афанитовые, плотные темно-серого цвета с зеленоватым оттенком или почти черного цвета породы чаще сланцеватой, реже массивной, местами миндалеватой текстуры. В эфузивах иногда присутствуют включения аналогичного же состава и единичные обломки чужеродных пород. В свежем изломе эти обломки, представляющие вулканические бомбы и лапilli, почти незаметны, на выветрелой поверхности они имеют более светлую окраску. Размеры обломков различны: от миллиметра до 10 см и более; они имеют угловатую, иногда округлую форму. Пространственно эфузивные породы тесно ассоциируют с диабазовыми порфиритами, диабазами и амфиболитами, а также с туфами и туффитами. Эфузивы состоят из плагиоклаза (25—30%), как правило, сильно измененного, альбитизированного, часто полностью замещенного эпидотовыми минералами и серицитом; роговой обманки (30—50%), частично замещенной хлоритом. Из вторичных минералов отмечаются карбонат, биотит, мусковит, из акцессорных — рудный минерал, реже сфен и рутил. Структура эфузивов преимущественно порфиробластовая, бластопорфировая, гранобластовая, лепидобластовая, нематобластовая. На контакте с интрузивными породами баргузинского комплекса эфузивы обычно превращаются в роговики (руч. Ниромакит, верховье р. Бирамы).

Туфы и туфовые сланцы обычно ясносланцеватые темно-серого и зеленоватого цвета, иногда с включениями полевого шпата, все они

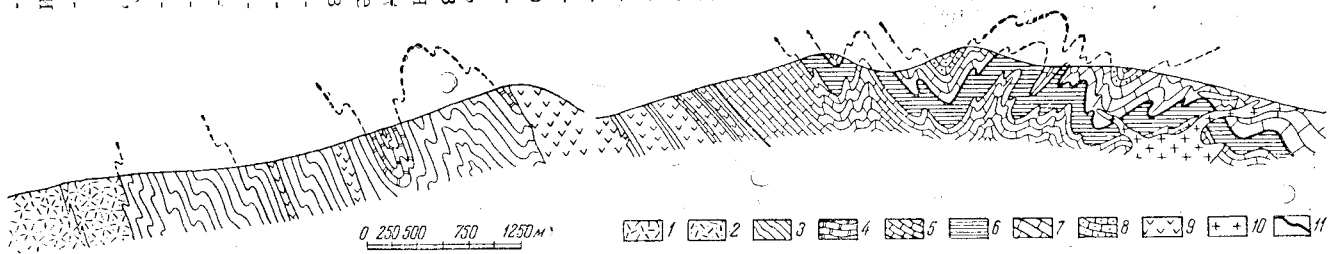


Рис. 1. Геологический разрез по ключу Ниромакит и водоразделу ключа Ниромакит и р. Лев. Топо  
Няндоминская свита: 1—2 — эфузивы, туфосланцы и туфопесчаники; 3 — метаморфические сланцы; 4 — темные пелитоморфные известняки; баргузинская свита; 5 — мелкозернистые серые мраморы; 6 — кварцево-углистые сланцы (микрокварциты и кварциты с прослоями кварцитов, кристаллических сланцев и гнейсов); 7 — средне- и крупнозернистые мраморы; 8 — мраморы с прослоями кварцитов, кристаллических сланцев и гнейсов; 9 — интрузии габбро-диоритов; 10 — гранитоиды баргузинского комплекса; 11 — граница няндоминской и баргузинской свит

дауют переходы от эфузивов к парасланцам и пространственно тесно ассоциируют с ними. Основная масса туфов представлена микрозернами полевого шпата и кварца, а также хлоритом, эпиллом, клинопизитом, серцитом, карбонатом и гидроокислями железа, а иногда новообразованиями роговой обманки. В отличие от туфов в туфовых сланцах мало вкрашенний, они более тонко рассланчованы, а цемент первоначально был представлен не только пеплом, но, по-видимому, и портально осадочным материалом, вследствие раскристаллизованного в чешуйки серицита, хлорита и тончайшие агрегаты эпилло-литоизитовых минералов. Структуры вышеупомянутых пород литокластические, бластолитокластические, кристаллитокластические.

Среди эфузивных и туфогенных пород отмечаются малошкольные прослои и линзы серых известняков и серцитово-углистых сланцев. Иногда наблюдается частое переслаивание туфов, туфосланцев, известняков и парасланцев друг с другом.

Выше по разрезу эфузивы, туфосланцы и туфопесчаники сменяются пачкой сланцев, представленных кварц-карбонатными, кварц-биотит-серцитовыми, кварц-каранитами, кварц-углистыми, участками превращенными в кварц-биотит-амфиболовые, кварц-амфибол-пироксеновые роговики. Мощность этой пачки 1500 м. Характерно переслаивание выделенных разновидностей в виде прослоев мощностью от нескольких сантиметров до 50–60 м. Кроме того, в нижних частях эти разновидности переслаиваются с туфогенными породами, а в верхних — преимущественно с известняками.

Наиболее частыми породообразующими минералами сланцев являются кварц, плагиоклаз, обычно замещенный вторичными минералами, карбонат, серцит, хлорит, непрозрачное (углистое) вещество и иногда эпилло-литоизитовые минералы. В качестве второстепенных и аксессорных минералов присутствует блитит, реже роговая обманка, рудные минералы, лимонит, сфен, лейкоксен и апатит. Данные породы, особенно углистые разности, представлены блититом, пирротином, реже халькопиритом. Структура сланцев гранобластовая, гранолепидобластовая, лепидобластовая.

Выше по разрезу сланцы сменяются пачкой темно-серых мелко- и среднезернистых пелитоморфных известняков мощностью 200–250 м, лежащих в синклинальной складке. В верховых руч. Ниромакит выходят кварц-биотит-углистые, кварц-биотит-гранатовые, кварц-биотит-серцитовые, кварц-биотит-хлоритовые сланцы с пластовыми телами эфузивов среднего состава и с единичными малошкольными прослоями известняков. Выше по разрезу в сланцах все чаще появляются прослои известняков, мощность которых постепенно увеличивается. Здесь наблюдается частое переслаивание среднезернистых темно-серых и серых известняков с гранат-биотитовыми, тремолит-

биотитовыми, эпилот-рого-бо-манско-биотитовыми, амфиболовыми, хлорит-амфиболовыми сланцами, амфиболитами и метаморфизованными эфузивами среднего состава. Вышеупомянутые породы серого, темно-серого с зеленоватым оттенком цвета, почти черные, тонкосланцеватой, реже массивной текстуры. Амфиболовые и хлорит-амфиболовые сланцы и сланцеватые амфиболиты более распространены в северной части листа на водоразделе рек Томпуды и Бирамы, пространственно тяготеющих к массивам основных пород (Урэик), в районе руч. Ниромакит и р. Того они распространены меньше, приурочиваясь к эфузивам.

Сланцы состоят из кварца, плагиоклаза, биотита, tremolita, обыкновенной роговой обманки, хлорита. В зависимости от присутствия и количественного содержания того или иного минерала сланцы имеют различное название. Известняки состоят из карбоната и углистого вещества, амфиболиты из роговой обманки (40–50%) и плагиоклаза (30–40%). В меньшем количестве присутствуют блитит, кварц, хлорит, эпилот и карбонат. Структуры пород гранобластовые, нематогранобластовые, в отдельных участках сохранились реликты псаммитовой структуры, в амфиболитах — реликты изверженных и эфузивных пород.

В верхней части данной пачки появляются прослои черных кварцево-углистых сланцев (микрокварцитов), которые при приближении к гранитам баргузинского комплекса становятся светлее за счет концентрации распыленного углистого вещества в чешуйки. На водоразделе руч. Ниромакит и р. Лев. Того известняки постепенно переходят в светлые мраморы с прослоями амфиболит-гранатовых сланцев. Эта пачка мощностью 800–900 м является переходной от существенно сланцевой — нижнодонинской свиты и вышележащей карбонатной к баргузинской.

В участках, близко расположенных к гранитным интрузиям (в приконтактовой полосе и в ксенолитах), породы нижнодонинской свиты представлены блититовыми, блитит-рого-бо-мансиковыми, двуслюдянными, гранат-биотит-рого-бо-мансиковыми гнейсами и кристаллическими сланцами. Наиболее широко они распространены на юго-восточном склоне Баргузинского хребта, протягиваясь полосой северо-восточного простириания от верхней рек Талинга и Долсы на юго-западе до верхней рек Сухигеке и Ендыыхк на северо-востоке. Внешне это серые, темно-серые, иногда почти черного цвета породы с хорошо заметными чешуйками слюды, субпараллельными мелкими игольчатыми кристаллами амфиболя. Эти породы состоят из плагиоклаза, роговой обманки, кварца и блитита. В некоторых разновидностях породообразующими минералами являются мусковит, гранат и углистое вещество (графит). Из второстепенных и аксессорных минералов присутствуют карбонат, сфен, циркон и ти-

тапомагнетит. Структуры данных пород лепидобластические, гранолепидобластические, реже нематобластические. Часто в не-посредственном контакте с гранитоидами наблюдается образование интекционных гнейсов.

Карбонатные породы, присутствующие в виде прослоев и

жильев, превращены в средне- и крупнозернистые кристаллические известняки в среде и чешуйками графита.

Мощность няндвинской свиты колеблется в пределах 1500—3000 м.

Породы этой свиты, как указывалось выше, постепенно перехват по стратиграфической вертикалью свиту.

Граница между сдвигами нерезкая. Они разделяются переходной бачкой, включающей породы няндвинской и баргузинской свит.

Баргузинская свита. Породы баргузинской свиты залегают на породах няндвинской свиты, имеют широкое распространение, слагая центральную часть района. Породы образуют полосу северо-восточного простираия шириной 10—15 км, а также встречаются в виде многочисленных ксенолитов и остатков кровли среди гранитоидов баргузинского комплекса. Для пород баргузинской свиты в общем характерен более высокий метаморфизм, связанный с внедрением гранитоидов баргузинского комплекса и сопровождающим их пегматитовым жильями.

В низах свита представлена частым переслаиванием известников с кварц-серпентит-хлоритовыми, карбонатными сланцами и микрокварцитами, где преобладающее значение имеют известняки. Породы распространены на водоразделе рек Согзённой и Тело, в верховье р. Бирямь и Прив. Намамы.

Известники представлены среднезернистыми разностями с ульистым веществом. Это плотные серого и темно-серого цвета породы с запахом сероводорода. Они на 99—95% состоят из зерен кальита размером от 0,3 до 0,7 мм. Из второстепенных минералов присутствуют кварц, углистое вещество, апатит, пирит. Углистое вещество равномерно рассеяно в виде тончайшей пыли, иногда образующей струски в виде полос или отдельных пятен. По мере увеличения степени метаморфизма появляются округлые чешуйки графита и зерна апатита.

Сланцы и микрокварциты залегают среди известников мало-мощными прослоями. По внешнему виду и минеральному составу они аналогичны сланцам, описанным в няндвинской свите.

Выше залегают средние и крупнозернистые известняки с гравитом, которые переслаиваются с биотитовыми, пироксеновыми, биотит-пироксеновыми и биотит-роговообманковыми именами, биотит-пироксеновыми и биотит-роговообманковыми гнейсами, а также сланцеватыми граffитизированными кварцитами.

В основном же для баргузинской свиты характерны среднекрупнозернистые кристаллические известняки серого и светло-серого цвета. Среди них встречаются полосчатые разности, в которых скопления чешуйок графита вытянуты в одном направлении. При значительном содержании графита порода приобретает темно-серую или серую окраску. Для большинства известняков характерен запах сероводорода. Породы сложены кальцитом, иногда присутствуют кварц, графит, реже тримолит. Из акессорных минералов встречается апатит, сфен, пирит и остальные же встречаются спорадически. Кварц и графит обычно распределены равномерно по всей породе. Сравнительно редко встречаются турмалин, хондродит, флогопит и фуксит.

Среди светлых кристаллических известняков наблюдаются прослой, образовавшиеся за счет первоначально загрязненных глинистым материалом карбонатных пород. Они обычно более плотные, иногда полосчатой текстуры, темно-серого с зелено-ватым оттенком цвета. В них, помимо перечисленных минералов, присутствуют пироксен, плагиоклаз, скаполит, эпилит, реже биотит и мусковит. Структуры гранобластовые, реже гетерогранобластовые; в катаклизированных и миллионитовых разностях гранобластомионитовые, микрогранобластовые, катаклазитические. Текстура массивная, в миллиметрах сланцеватая.

Несмотря на то что данные известняки интенсивно прорваны различными изверженными породами и главным образом гранитоидами баргузинского комплекса, в которых они залегают в виде остатков кровли и ксенолитов, метаморфизм их проявился лишь в перекристаллизации и превращении органического вещества в чешуйки графита. Наряду с этим в отдельных участках kontaktовые изменения известняков выражаются в образовании маломощных зон скарнов.

Появление скарнов, возможно, обязано воздействию послекембрийских гранитов, которые встречаются среди гранитоидов баргузинского комплекса. Скарны отмечаются в верховьях рек Согзённой, Прив. Тело, в среднем течении р. Большой Карпусь. Обычно скарны образуются около изверженных пород в виде узкой полосы мощностью от 3 до 30—40 см. По составу выделяются следующие разновидности скарнов: пироксен-гранатовые, пироксеновые, пироксен-роговообманковые, tremolit-пироксеновые.

Биотитовые, пироксен-биотитовые, биотит-роговообманковые гнейсы находятся в тесном переслаивании с известняками (прослои мощностью от метров до десятков метров). Они имеют обычно серый и темно-серый цвет, с поверхности часто ржаво-бурые за счет гидроокислов железа, образующихся в результате

## КЕМБРИЙ

тате окисления сульфидов. На поверхности хорошо заметны чешуйки биотита и графита. Гнейсы состоят из кварца (50—60%), биотита (от 10 до 20%), плагиоклаза (15—20%), пироксена, графита и роговой обманки. Из аксессорных минералов присутствуют сфен, алатит и флюорит.

Среди гнейсов наблюдаются прослои, обычно приуроченные к kontaktам с известниками и обогащенные чешуйками графита. Реже встречаются кварциты, которые образуют пропластки среди гнейсов мощностью от нескольких сантиметров до 5, реже 10 м. Они светло-серого, реже серого цвета, массивного или гнейсовидного сложения, обусловленного линейным расположением редких чешуек графита. Кварциты состоят из кварца (90—95%), плагиоклаза (около 1%) и чешуек графита.

Структура пород лепилогранобластовая и гранобластовая, текстура сланцеватая, определяющаяся по ориентированному расположению чешуек биотита и графита. Более груболитчатые разности гнейсов образовались за счет метаморфизма полукристальных песчаников, а тонкоклитчатые — за счет метаморфизма различных сланцев.

На kontaktе с гранитоидами наблюдаются альбекционные гнейсы, образовавшиеся за счет тонкой послойной инъекции магмы гранитного состава. Значительно реже на kontaktах с гранитоидами присутствуют роговики серовато-зеленого цвета, плотные, часто имеющие раковистый излом, груболитчатые. Кроме массивных, здесь встречаются и полосчатые разновидности роговиков. Они состоят из плагиоклаза, биотита, роговой обманки, пироксена, реже граната, скалолита и клиноцизита. Полосчатые разности имеют тот же минеральный состав, только одни полосы состоят из пироксена, кварца, роговой обманки, плагиоклаза, другие — из пироксена, граната, кварца и очень редких чешуек биотита. Видимая мощность баргузинской свиты 2000 м.

В верхах разреза района лежат со стратиграфическим несогласием фаунистически охарактеризованные отложения нижнего кембра.

Породы баргузинской и ниандонинской свит авторы относят к верхнему протерозою на основании того, что они, во-первых, перекрываются со стратиграфическим несогласием фаунистическими охарактеризованными отложениями нижнего кембра, в гальке базальных конгломератов которых встречаются все разновидности подстилающих пород, преимущественно ниандонинской свиты. Во-вторых, разрез ниандонинской и баргузинской свит обнаруживает полное сходство с разрезом верхнего протерозоя Икатского хребта (Павловский, Хренов и Беличенко, 1954), и значительное сходство с разрезом трехчленного байкальского комплекса.

Породы кембра развиты в правобережной части р. Томпуды, в бассейне р. Бирамы и верховье р. Намамы и залегают в грабене северо-восточного простирания. Породы смяты в складки северо-восточного простирания и прорваны интрузиями основных и кислых город.

### Нижний отдел

#### Алданский ярус (?)

Турикская свита (Ст.). Отложения турикской свиты расположены по правобережью р. Прав. Бирамы, образуя поясу северо-восточного простирания шириной от 800 м на юго-западе и до 3 км на северо-востоке. На северо-западе свита в основном контактирует с основными породами (уРтак) и лишь на небольшом участке, против слияния Прав. и Лев. Бирамы, с породами ниандонинской свиты. На всем протяжении контакт свиты с более древними породами тектонический.

Разрезы турикской свиты хорошо прослеживаются против слияния Прав. и Лев. Бирамы, в правом притоке р. Прав. Бирамы, впадающем в 3 км выше слияния рек, и в верхнем течении р. Прав. Бирамы.

В низах свиты залегают конгломераты. Горизонт конгломератов, по-видимому, не выдержан как по простиранию, так и вкрест простирания. Его видимая мощность колеблется от 100 м до nulla, что обусловлено как фациальными изменениями, так и отчасти тектоническим срезанием. По внешнему виду это темно-серые с зеленоватым оттенком, буровато-серые, темно-фиолетовые и фиолетовые породы. Размер галек непостоянный и колеблется от 25 см (валуны) до 1 см и меньше (гравелиты); средний размер их 5—8 см; степень окатанности хорошая, сортировка плохая.

Галька конгломератов на 30—40% представлена зернистым молочно-белым и фиолетовым кварцем, в меньших количествах присутствует галька сильно измененных пород, по облику сходных с породами ниандонинской свиты (хлоритовые, серцитово-хлоритово-кварцевые, серцитово-хлоритовые и другие параллитосланцы).

Из пород магматического докембрийского цикла отмечены сильно измененные диориты, габбро, порфиры, кварцевые порфиры, фельзиты, хлоритизированные и эпилитизированные жильные породы основного ряда, туфы диоритовых порфиров. Из кислых пород встречаются лейкократовый гранит-аплит, мелкозернистый гранит, иногда серилизированный и карбонатизированный, катаклизированные граниты и гранито-гнейсы. Чемент конгломератов представлен разнозернистым песчаником.

(преимущественно кварцевым) и песчано-глинистым материалом.

Выше по разрезу, а иногда и по простирации конгломераты смениются гравелитами и песчаниками. Макроскопически это темно- и светло-серые, буроватые, лиловые, оранжевые, розовые слоистые породы, часто имеющие, особенно песчаники, кое-кую слоистость.

В гравелитах преобладает кварц; в песчаниках обломочная часть представлена полускатанными и окатанными зернами микроклина и пластика (30—50%), кварца (20—30%), в меньших количествах отмечаются листочки биотита, зерна роговой обманки и пироксена, циркона, эпилита, клиноцизига, апатита, турмалина, магнетита. Цемент карбонатный, глинистый и железистый, превращенный в мелкощетинчатую массу биотита, серицита, хлорита и альбитита, турмалина, магнетита. Гидроокислов железа. Характерными типами цемента являются: базальтий, контактовый, контакто-поровый и затопления пор. Среди песчаников присутствуют маломощные (редко до 1 м) прослои контгломератов, галька которых представлена исключительно кварцем.

Выше по разрезу наблюдается переслаивание песчаников со сланцами и мергелями при заметном увеличении карбонатных пород. Окраска сланцев аналогична окраске песчаников, но здесь более ярко выражена слоистая текстура, обусловленная чередованием различно окрашенных слоев. Сланцы сложены карбонатом, пелитовыми частицами и мелкими обломочками низкотемпературного кварца и полевого шпата. Структура их областолавритовая, а также катакластическая, рельефово-криптокристаллическая. Карбонатные породы представлены доломитами серого, темно-серого, реже желтовато-серого цвета с обломками кварца и полевого шпата. В тех местах, где заметна слоистость доломитов, она преимущественно обусловливается большим или меньшим содержанием или отсутствием глинистой примеси. При большом содержании примеси доломиты переходят в мергели. Доломиты образуют малошкольные прослои от 0,2 до 1,5—2 м среди песчаников и сланцев, причем количество и мощность прослоев возрастает вверх по разрезу в переходной полосе к стратиграфически вышележащим карбонатным породам бирмингемской свиты.

Видимая мощность свиты 400—450 м.

Туристская свита относена к низам нижнего кембрия на том основании, что она согласно перекрываются фаунистически охарактеризованными отложениями (Ст.). Эта свита, кроме того, сопоставляется с мотской свитой Западного Прибайкалья, относимой к алданскому ярусу нижнего кембрия, бурундинской свитой Икатского хребта (Павловский и др., 1954), с кембрийскими отложениями бассейна Кильмут в Витимском плоско-

горье (Шахварстова, 1948), с нижней и средней падроканскими и сидельтинской свитами Средне-Витимской горной страны (бассейн рек Янгула, Правый и Средний Мамакан) (Салот, 1954).

### Ленский ярус

Бирмингемская свита (Ст.). Эта свита согласно залегает на породах турийской свиты и протягивается в виде двух полос северо-восточного простирания, выходящих в Крыльях синклинальной складки, в ядре которой залегает иркандинская свита. Одна полоса шириной 2 км захватывает промежуточную часть р. Бирамы и верховье р. Намамы. Другая полоса, начинаясь с правобережной части р. Томпуды против устья р. Топо, прослеживается до верховий р. Лев. Бирамы, имея на всем протяжении с породами няндонинской свиты тектонический контакт.

Бирмингемская свита представлена двумя горизонтами карбонатных пород. В низах свиты залегает горизонт темных, сепарированных тонко- и среднезернистых, нередко плотных, почти афанистовых разностей либо массивной, либо неяснослойной текстуры, представленных доломитами ( $\text{CaO}$  31,07%;  $\text{MgO}$  21,30%), известковистыми доломитами ( $\text{CaO}$  33,46%;  $\text{MgO}$  18,32%), реже доломитизированными известняками ( $\text{CaO}$  55,61%;  $\text{MgO}$  6,64%).

Среди карбонатных пород присутствуют довольно выдержаные по простиранию прослои песчаных доломитов и известковистых песчаников мощностью от нескольких сантиметров до 1,5—2 м. Обломочная часть (10—20% состава) в прослоях представлена зернами кварца, полевого шпата; изредка присутствует пирит и рудный минерал. Структура псаммитовая, переходная к гранобластовой, текстура массивная; цемент карбонатный.

В карбонатных породах, кроме зерен кальцита и доломита, составляющих около 95%, присутствуют зерна кварца, рудного минерала, рутила и тонкораспыленное углистое вещество, придающее породе темную окраску. Структура этих пород гранобластовая. В верхних частях данного горизонта присутствуют вслоросли *Osaqa compacta* Когол. Мощность горизонта 500—600 м.

Выше по разрезу темные разности карбонатных пород переходят в серые, светло-серые, иногда белые мраморизованные или сахаровидные известняки. В верхних частях разреза появляются полосчатые и пятнистые разности. От предыдущего горизонта они отличаются более светлой окраской, большей кристалличностью, обычно мелко-, и реже средне- и крупнозернистые, состоящие из зерен карбоната (доломита). В виде примеси отмечается небольшое количество непрозрачного вещества. По химическому составу эти породы также представлены доломи-

митами и доломитизированными известняками. Сравнительно редко встречаются чистые известняки. Часто карбонатные породы обеих горизонтов в свежем изломе издают запах сероводорода.

В кристаллических доломитах этого горизонта ближе к верхним частям разреза обнаружена фауна археопиат, трилобитов и брахиопод (Шебогоров, 1956)<sup>1</sup>. Фауна представлена следующими видами: трилобиты *Kootenella acuta* Тшегн., *Edelsteinaspis gracilis* Легт., *Koontakites dubitabilis* Огненко сп. nov., брахиоподы *Niustia* sp., *Kutorgina* sp., археопиаты *Ethmophyllum* sp., характеризующие отложения как верхний нижнего кембрия. По схеме сопоставления кембрийских разрезов юга Сибирской платформы, составленной Н. В. Покровской (1952 г.), данные отложения должны быть отнесены к ленскому ярусу, еланскому горизонту (зона *Kootenella*), т. е. к верхам нижнего кембрия.

Из повторно собранной авторами фауны определены археопиаты *Ethmophyllum koragai* Володин, трилобиты *Kootenella stakovskii* (Сим.), *Edelsteinaspis* cf. *ornata* Легт., *Erbia* sp. и пеленоиды *Bivalvona*. По заключению А. Г. Вологдина и Н. П. Суворовой, комплекс форм соответствует еланскому горизонту на р. Лене и торгашинскому у г. Красноярска, т. е. отложений относится к самым нижнему кембрию и переходным слоям к среднему кембрию.

Мощность свиты 900—1000 м.

### Нижний и средний отделы кембрия

Иркандинская свита (Стр<sup>2</sup>). Эта свита залегает на бирамынской свите. Она образует полосу северо-восточного простирания шириной 1,5—2 км, которая начинается в правобережной части р. Томпуды против устья р. Топо и переходит дальше влевобережную часть бассейна р. Бирамы, а также залегает на зодоразделе рек Прав. и Лев. Бирамы. На водоразделе с р. Намамой она прорывается интрузий гранитоидов, с юго-востока ограничивается сбросом.

В состав Иркандинской свиты входят карбонатные конгломераты, карбонатные песчаники, лесчанистые мергели, прослои и линзы доломитов. В низах свиты залегают карбонатные конгломераты, обломочный материал которых представлен исклонительно карбонатными породами и в редких случаях встречаются отдельные гальки кварца. В самых низах это обычно крупно-

галечные разновидности с размером гальки 10—20 см, среди которых довольно часто присутствуют валуны до 50 см и более. Скатанность гальки и валунов разнообразная: от угловатых, полуокруглых до хорошо окатанных. Сортировка материала слабая. Выше по разрезу размер гальки уменьшается, не превышая 10, обычно 5—8 см, и в самых верхах разреза конгломераты переходят в мелкогалечные.

Конгломераты образовались за счет размыва карбонатных пород бирамынской свиты, все разновидности которой присутствуют в гальке. Отложения других свит, развитых в данном районе, а также магматические породы в гальке отсутствуют.

Обломочная часть конгломератов резко преобладает над цементом, составляя 70—80%. Цемент полимиктовый, песчано-карбонатный, состоящий из кварца, карбоната, реже хлорита, а также обломков карбонатных пород.

Среди конгломератов (особенно в северо-восточной части по-лосы) наблюдаются прослои и линзы крупнозернистых песчаников, часто с косой слоистостью. Обломочный материал песчаников представлен квартцем, цемент карбонатный (доломит).

Местами количественное соотношение конгломератов и песчаников становится однозакомым и появляются линзы темных плотных известковых доломитов, образующих тесное переслаивание при мощности прослоев от 0,5 до 2 л. Известковые доломиты состоят на 90—95% из зерен карбоната, в небольшом количестве присутствуют мельчайшие неокатанные обломки кварца, полевого шпата, тонкораспыленное непрозрачное вещество, серицит, эпилот, клиноцизит. Структура доломитов гранобластовая, микрогранобластовая, текстура массивная. Местами в конгломератах контуры обломочного материала приобретают расплывчатые очертания, сливаясь с цементом, хорошо выделяясь лишь на выветрелой поверхности. Выше мелкогалечные конгломераты сменяются крупно- и среднезернистыми песчаниками с прослоями мелкогалечных карбонатных конгломератов мощностью от 0,5 до 2 л. Еще выше прослои конгломератов исчезают, песчаники становятся более мелкозернистыми, переслаиваются с тонкослоистыми песчанистыми мергелями пестрой окраски. В отдельных участках на плоскостях тонкоплитчатой отдельности песчанистых мергелей сохранились волноприбойные знаки.

Обломочная часть в песчаниках, составляющая 30—60% общей массы породы, представлена кварцем и полевым шпатом. Размер обломков в среднем 0,15—0,30 мм; обычно обломки угловатой и полуокруглой формы. Полевой шпат часто серизитизирован и разрушен.

Обломки карбонатной породы содержат примесь глинистого вещества и битума. В большом количестве присутствуют гидросокислы железа, эпилот, клиноцизит, отдельные листочки бесцветной склодки. Структура песчаников гранобластовая. Це-

<sup>1</sup> Фауна трилобитов, брахиопод определялась в 1955 г. Л. В. Огненко при консультации Н. Е. Чернышевой, археопиат—доцентом Иркутского государственного университета В. В. Латыни.

<sup>2</sup> Археопиаты определялись А. Г. Вологдиным, трилобиты и пеленоиды Н. П. Суворовой.

мсит представлены криктохриллическим карбонатом (доломит и кальцит). На контакте с гранитоидами эти породы частично сканированы (водораздельная часть верховий рек Тев. и Грав. Бирамы).

Мощность свиты 350 м. Иркандалинская свита отнесена к нижнему — среднему кембрию на том основании, что она залегает на фаунистически охарактеризованном никлем кембрии.

Разрез кембрия в целом хорошо сопоставляется с разрезом кембрия (Салоп, 1954) Средне-Витимской горной страны (бассейны рек Янгула, Грав. и Средн. Мамакан).

#### ЧЕТВЕРТИЧНЫЕ ОТЛОЖЕНИЯ

Среди четвертичных отложений выделяются: 1) современные аллювиальные отложения ( $aQ_4$ ); 2) отложения конусов выноса ( $pQ_4$ ); 3) озерные и флювиогляциальные отложения ( $f-gfQ_3$ ); 4) ледниковые отложения ( $gQ_3$ ).

**Современные аллювиальные отложения.** К ним относятся делювий речных террас, образовавшихся после оледенения, и современный делювий пойменных и русловых частей рек и их притоков. В горной части современный делювий представлен валунно-галечным и песчано-глинистым материалом. В верхних, иногда средних частях большинства рек и их притоков, где преобладает донная эрозия, аллювиальные отложения почти отсутствуют. Галька и валуны представлены преимущественно изверженными породами (трапитоидами). Пойменная часть долины р. Баргузин и приусььевые части долин рек, стекающих с юго-восточного склона Баргузинского хребта, сложены кварцполевошпатовыми песками. Мощность отложений в горной части района колеблется в пределах нескольких метров, а в долине р. Баргузин — десятков и сотен метров.

Аллювиальные отложения террас горной части представлены в основном валунно-галечным, иногда песчано-галечным и песчано-глинистым материалом, сортировка обычно слабая. Мощность отложений достигает обычно 30—40 м.

**Отложения конусов выноса** широко представлены как в горной части, так и в месте стыка высокогорного района с Баргузинской впадиной.

В горной части они развиты в приусьевых частях всех притоков как постоянных, так и временных, достигая иногда в ширину сотен метров при мощности в десятки метров. Сложенны значительной примесью песчано-глинистого материала.

Отложения конусов выноса в предгорной части развиты настолько широко, что сливаются в один шлейф, образуют наклонную предгорную равнину. Отложения представлены неотсорти-

рованным материалом, крупностью от глинистых частиц до валунов размером в среднем 30—50 см. Окатаанность обломков хорошая и средняя. Мощность отложений не всегда одинакова: наибольшая наблюдается у места стыка высокогорного района (до 60 м) с Баргузинской впадиной. По направлению к р. Баргузин мощность этих отложений уменьшается и исчезает. В этом же направлении происходит замена крупнообломочного материала мелкообломочным.

**Озерные и флювиогляциальные отложения** развиты в Баргузинской впадине. Они примыкают к отложениям конусов выноса в правобережной части р. Баргузин, а в левобережной части образуют так называемые «куйтуны» (высокие террасы). Эти отложения представлены желтым мелкозернистым песком с прослоями белельно-серых суглинков мощностью до 2 м.

По данным С. М. Замараева и И. И. Максимова (1954), в этих отложениях присутствуют остатки холоднолюбивой фауны: моллюсков и позвоночных животных, характерных для отложений плейстоцена.

Видимая мощность отложений до 30 м. По данным вышеупомянутых исследователей, общая мощность четвертичных отложений Баргузинской впадины достигает 500 м.

**Ледниковые отложения** имеют сравнительно широкое распространение. Они представлены боковыми и конечными моренами и реже эратическими валунами. Типичные моренные отложения, сложенные неотсортированными осадками, где наряду с глыбово-валунным материалом присутствует щебенка, глина и суглинок, встречаются во многих участках (долина р. Томпуда, бассейн р. Бирамы, речки Согзэнная, Топо, Шегнанда, Кабанья), а в верховых р. Сиргли, в приусьевой части р. Дагалды и по р. Алле у выхода последней из гор наблюдаются типичные моренные ландшафты.

Мощность моренных отложений весьма непостоянна и колеблется от 30—40 м (р. Алла, приусьевая часть р. Бирамы) до 1,5—2 м (верховья многих рек и речек). Отделенные эратические валуны на выполненных склонах водоразделов отмечаются до абсолютной высоты 1800—1900 м.

Кроме вышеописанных типов четвертичных отложений, в высокогорной части района имеются нерасщепленные современные образования. К ним относятся эловий (дресва, щебень) на вершинах гор и гребнях водоразделов, делювий (глыбовые осыпи, щебень, суглинок) и проловий (почти неокатанные обломки с песком и глиной в руслах временных потоков). Петрографический состав обломков включает все развитые на данной местности породы, из которых в основном распространены изверженные породы, которые при разрушении дают главным образом глыбы и крупные обломки, в то время как гнейсы и известняки дают щебень и суглинок.

## ИНТРУЗИВНЫЕ ОБРАЗОВАНИЯ

Интузивные образования в строении района имеют большое значение, слагая около 60% исследованной площади.

По времени внедрения интузивные образования относятся к верхнепротерозойскому и нижнепалеозойскому тектоно-магматическим циклам. В каждом таком цикле выделяются интрузивные комплексы. В нижнегалеозойском — бирюминский интрузивный комплекс габбро, габбро-диабазов и вигимканский интрузивный комплекс гранитов, синенитов и эгирии-авлитовых синенитов. В верхнепротерозойском — икатский интрузивный комплекс габбро-поритов, габбро и габбро-диоритов и баргузинский интрузивный комплекс гранитоидов.

Породы верхнепротерозойского комплекса прорывают отложения баргузинской и няндвинской свит, сами же присутствуют в гальке конгломератов нижнего кембрия. Нижнепалеозойские изверженные породы прорывают отложения кембрия. Эти комплексы изверженных пород сопровождаются жилами и лайками кислого и среднего, реже основного состава.

Характер контактовых изменений вмещающих пород с интрузивными образованиями в значительной мере зависит от их литологических особенностей. Эндоконтактная зона в истолченных которых увеличивается к краям интузива и постепенно уменьшается по направлению к внутренним частям plutона.

### ВЕРХНЕПРОТЕРОЗОЙСКИЕ ИНТРУЗИИ

#### Икатский интузивный комплекс

Породы икатского комплекса наиболее ранние среди изверженных образований верхнепротерозойского времени. В распределении выходов основных пород наблюдается некоторая закономерность, заключающаяся в приуроченности их массивов к определенным зонам, имеющим линейное расположение. На площади листа грубо намечается три таких зоны.

Первая зона выходов габбро-диоритов прослеживается от правобережной части р. Томпуды (против устья р. Согзёни) до верховьев р. Ильбайчи. Тела основных пород здесь имеют вытянутое в северо-восточном направлении форму размером от 1 до 18—20 км в длину при ширине в среднем 3 км. С границами баргузинского комплекса и кембрийскими образованиями они имеют тектонический контакт, с породами няндвинской свиты — эруптивный.

Вторая зона выходов намечается не так отчетливо. Она начинается на водоразделе рек Согзённа и Лев. Того и протягивает-

ется до верховьев р. Намамы. Выходы этих пород представляются как массивами (верховья руч. Ниромакит и Даверен и др.), так и пластовыми телами, широко развитыми среди сланцев няндвинской свиты по руч. Ниромакит и в районе верхней р. Намамы, где они тесно ассоциируют с эфузивными обра-

зованиями. Массивы, как правило, имеют вытянутую в северо-восточном направлении форму, часто с глубоко заходящими вмешающими породами апофизами. Площади массивов колеблются от 1 до 16—18 км<sup>2</sup>.

Третья зона выходов приурочена к юго-восточному склону Баргузинского хребта. Она прослеживается по левобережной части р. Кабаньей, в верховьях рек Сухитке, Бол. Карпусы и по левобережной части р. Улотна. Массивы имеют неправильную форму и вытянуты в северо-восточном направлении. Размеры их колеблются от нескольких сотен квадратных метров до 20 км<sup>2</sup>.

Линейное расположение выходов, их вытянутая в северо-восточном направлении форма свидетельствуют о том, что основные породы при своем внедрении использовали ослабленные тектонические зоны северо-восточного простирания.

Основные породы обычно имеют черный и темно-серый цвет, иногда с синеватым оттенком. Они подразделяются на габбро, габбро-пориты, габбро-диориты. Все разновидности этих пород связаны между собой взаимопереходами. Основные породы состоят в основном из плагиоклаза, амфибола, пироксена, изредка встречаются биотит, кварц; из вторичных минералов отмечаются хлорит, серпентит и карбонат; из акцессорных — оливин, сфен, магнетит и весьма редко шпинель.

Габбро обычно содержит плагиоклаз, соответствующий лабрадору, пироксен и редкие чешуйки биотита, в габбро-диоритах присутствует андезин, а пироксен и биотит встречаются в равных количествах.

Кроме того, в основных разновидностях количество темно-цветных минералов больше, чем плагиоклаза, а в средних — или равное, или темноцветных минералов меньше. Пироксен представлен диопсидом и гиперстеном, последний встречается только в габбро-поритах. Для всех пород характерно видимое сульфидное оруднение, представленное мелкой рассеянной вкрапленностью. Структуры пород чаще блестищие, с более или менее сохранившимися реликтами гипидиоморфной или габбронофитовой, габбровой или призматической зернистостью. Текстуры их обычно массивные, реже неотчетливо сланцеватые. В зонах тектонических нарушений (особенно в правобережной части р. Прав. Бирюмы) наблюдается типично милонитовая структура и, как правило, сланцеватая текстура.

Основные породы характеризуются широким развитием постмагматических и метаморфических процессов, выразившихся в серicitизации и альбитизацией плагиоклазов, хлоритизации

ротовой обманки и биотита и карбонатизации. Наиболее широко проявлен процесс амфиболизации, в результате которого матматический пироксен полностью или частично заменяется обычной роговой обманкой, а в наиболее интенсивно перекристаллизованных разностях роговатой обманка частично замещает и плагиоклаз. Наиболее интенсивно этот процесс проявляется в пластовых телах, залегающих среди пород няндоминской свиты, на контактах с которыми габброидные породы превращены в амфиболиты (бассейн Г. Толо и верховья р. Лев. Биррамы) и тектонических зонах (правобережье р. Прав. Биррамы).

В эзоконтактах основных интрузивов со сланцами в поседших образуются роговики, мощность которых обычно исчисляется (в пределах 40 см); известняки иногда скарнируются. Верхнепротерозойский возраст этих пород отчетливо установлен прорыванием верхнепротерозойских образований няндоминской и баргузинской свит и присутствием их в гальке нижнекембрийских конгломератов турикской свиты (правобережье р. Прав. Биррамы). По отношению к гранитоидам баргузинского комплекса они более ранние, так как разутая ими. Жильными производными основных пород являются пироксениты, которые залегают в виде даек и небольших жил в отложениях баргузинской свиты.

С комплексом основных пород связано никель-cobальтовое оруденение (р. Нондю и Большой Карпусы, верховье р. Прав. Намамы).

#### Баргузинский комплекс гранитоидов

Верхнепротерозойские гранитоиды слагают громадный батолит, который распространяется от берега оз. Байкал на северо-запад до Баргузинской впадины на юго-востоке. На северо-восток и юго-запад они уходят далеко за пределы района, слагая в основном Баргузинский хребет. Контакты батолита с вмещающими породами секущие и нередко подчинены крупным протерозойским структурам.

По времени выделения баргузинский комплекс гранитоидов распадается на три фазы. Гранитоиды первой фазы слагают водораздел и юго-восточный склон Баргузинского хребта, а гранитоиды второй фазы — северо-западный склон Баргузинского хребта. К третьей фазе относятся дайки гранит-порфиров, порфиритов и плагиоклазитов.

Макроскопически гранитоиды обеих фаз аналогичны, но кроме внешнего сходства имеются и различия, способствующие их разделению.

О отличительные особенности гранитоидов первой и второй фаз баргузинского комплекса:

#### Гранитоиды первой фазы

#### Гранитоиды второй фазы

Микроклиновые Сопровождаются пегматитами Орбит и циркон редки Шлировые выделения основного состава отсутствуют Обычно пологое погружение контактов плутона с вмещающими породами. Широкие ореолы контактовых изменений. Пластовые тела принимают участие в складчатости	Плагиоклазовые Не сопровождаются пегматитами Орбит и циркон встречаются всегда Шлировые выделения характерны
Непосредственных контактов между гранитоидами первой и второй фаз не наблюдается, так как на большом протяжении они разобщены отложениями няндоминской и баргузинской свит, а на водоразделе рек Кабаньей и Шегнанды соприкасаются по тектонической линии. <b>Гранитоиды первой фазы</b> пространственно приурочены к юго-восточному склону Баргузинского хребта и слагают крупные массивы в бассейнах рек Алла, Сухитке, Улюнга и Донголея. На северо-западном склоне хребта они развиты на водораздельном пространстве рек Кабаньи и Шегнанда.	Контакты с вмещающими породами круче. Узкие ореолы контактовых изменений. Пластовые тела не принимают участие в складчатости

С породами баргузинской и няндоминской свит, которые они прорывают, гранитоиды имеют довольно пологие извилистые контакты, а местами образуют многочисленные апофизы, жильные и пластовые тела и мелкие инъекции. Породы баргузинской и частично няндоминской свит встречаются в этих гранитоидах в виде остатков кровли и ксенолитов. Часто в приконтактовой зоне в гранитоидах наблюдается гнейсовидная текстура, которая в удалении от контакта переходит в массивную.

Гранитоиды первой фазы раздифференцированы. В их составе выделяются граниты, граносиениты и гранодиориты. Между этими разновидностями наблюдаются постепенные и частные переходы, поэтому выделить их на карте не представляется возможным.

По структуре, величине зерна и минеральному составу среди гранитоидов первой фазы выделяются несколько разновидностей: а) крупнозеристые порфировидные роговообманково-биотитовые граниты и гранодиориты; б) мелко- и среднезернистые роговообманково-биотитовые, участками порфировидные граниты и гранодиориты; в) пегматиты и аplitы.

Бол. Кафлусы и Иниарикта, в районе среднего течения р. Долссы на водоразделе рек Кабанья и Шегнанда.

Граниты имеют розовато-серый цвет, на фоне серой массы выделяются вкрапленники розового полевого шпата размером от 0,5 до 1—2 см. Граниты обычно состоят из микроклина (30—60%), кварца (25—30%); в незначительном количестве присутствуют плагиоклаз (от № 16 до № 30), биотит, роговая обманка. Среди акцессорных минералов наблюдаются апатит, сфен, титаномагнетит и очень редко орбит.

В граносинитах уменьшается количество кварца и увеличивается содержание микроклина. Структуры гранитов и граносинитов обычно порфировидные с гипидроморфной или алломорфной основной массой. В зонах разломов в гранитах наблюдается катакластическая или цементная структура. Текстура массивная, а в катаклизированных разностях и частично в приконтактовых частях и жилльных телах — гнейсовидная.

Мелко- и среднезернистые роговообманково-биотитовые, участками порфировидные граниты, граносиниты и гранодиориты слагают основное поле гранитоидов первой фазы от бассейна р. Алла до бассейна р. Улогна. Эти разновидности пород имеют обычно равномернозернистое строение, среди которого наблюдаются участки с неяснопорфировидным строением, обусловленным мелкими вкрапленниками серого полевого шпата величиной от 2 до 3—4 мм. Гранитоиды имеют светло-серый и серый цвет, иногда совершенно лишены темноцветных минералов. Переходы от почти лейкократовых разностей к гранитоидам, обогащенным темноцветными минералами, постепенные. Граниты обычно массивного сложения разбиты трещинами на глыбы матрасвидной и параллелепипедальной отдельности. В зонах разломов они катаклизированы и часто превращены в милониты.

Главнейшими пордообразующими минералами этих гранитов являются микроклин (40%), плагиоклаз от № 10 до № 30 (10—20%) и кварц (30%). Количество темноцветных (биотита и роговой обманки) в сумме не превышает 1—5%. Редко существует пироксен. В качестве акцессорных минералов отмечается титаномагнетит, сфеен, пирит и циркон.

В гранодиоритах увеличивается содержание и основность плагиоклаза (олигоклаз — андезин), биотита и роговой обманки. Кварц и калишпат приобретают подчиненное значение по отношенiu к плагиоклазу.

Структура пород гипидроморфозернистая. Текстура массивная. В зонах тектонических нарушений часто наблюдаются катакластическая, реже милонитовая структуры; текстура сланцеватая.

Постмагматические процессы проявились в образовании перитовых выделений альбита в микроклине, в эпилитизации и серпентинизации плагиоклаза, в преобразовании титаномагнетита

в сфеи, образовании шеолитов по трещинам, а также в образовании биотита по роговой обманке. Наиболее интенсивно процессы серпентинизации, эпилитизации и хлоритизации развиты в зонах тектонических нарушений.

Контактные воздействия гранитоидов на имеющиеся породы будут подробно рассмотрены ниже.

Пегматиты и аплиты являются производными породами гранитоидов первой фазы. Пегматиты широко распространены как среди гранитоидов, так и в метаморфических породах баргузинской свиты (особенно в бассейнах рек Долсы, Алла и Бол. Каргасы, где они пронизывают метаморфическую толщу). Правильные и скользко-нибудь выдержаные жилы пегматитов отсутствуют. Обычно они встречаются в виде секущих жил, часто с резкими раздувами и пережимами. Мощность пегматитовых жил колеблется от 0,2 до 5—6 м. Пегматиты имеют серый и розовато-серый цвет.

Главными минералами пегматитов являются кварц, плагиоклаз, альбит-олигоклаз, микроклин, биотит. Из акцессорных минералов присутствуют сфеен, апатит, орбит и циркон. Структура пегматитов крупнокристаллическая, типидоморфозернистая; графические структуры отсутствуют. Иногда в пегматитах, залягающих в известняках, присутствует пироксень, а биотит не обнаружен. По видимому, эти пегматиты относятся к типу пегматитов линии скрещивания.

Аплиты распространены меньше, чем пегматиты и встречаются лишь среди гранитоидов в виде секущих жил. Мощность их колеблется от нескольких сантиметров до 1 м. Цвет аплитов серый или розовато-серый. Главные минералы аплитов: микроклин, кварц и плагиоклаз; изредка встречаются чешуйки биотита.

С гранитоидами первой фазы и пегматитовыми жилами, видимому, связано молибденовоерудопроявление, так как в шлиховых пробах из мест с обильным развитием пегматитовых жил присутствует молибденит.

**Гранитоиды второй фазы** распространены на северо-западном склоне Баргузинского хребта в бассейнах рек Шегнанды, Томпуды и Сиритги, слагая северо-западную часть батолита. Среди метаморфических пород гранитоиды второй фазы образуют тела неправильной формы, многочисленные жилы и дайки. В составе гранитоидов второй фазы выделяются граничные, граносиниты, гранодиориты и диориты. Подмечено, что гранодиориты и граносиниты тяготят к апикальным частям батолита, граниты же слагают более глубокие его части<sup>1</sup>.

<sup>1</sup> Л. И. Салоп (1947), проводивший исследования в междууречье Нийдорни-Катерр, данный комплекс относит ко второй фазе, проявившейся в верхнем прогороде, и считает их позднегорогенными, впервые ими в виде диапир-плутонов.

Среди них можно выделить: а) средне- и крупнозернистые роговообманково-биотитовые порфировидные граниты; б) мелко- и среднезернистые роговообманково-биотитовые граниты, грано-сиениты и гранодиориты; в) аplitы.

Средне- и крупнозернистые порфировидные роговообманково-биотитовые граниты имеют незначительное распространение в верховьях руч. Иркандаш и р. Сиригли, где образуют массив около 8—10 км<sup>2</sup> в поперечнике. Граниты светло-серого и розовато-серого цвета, на фоне которого хорошо выделяются вкрапленники плагиоклаза размером от 0,6 до 1,5—2 см в поперечнике. Границы разбиты трещинами на глыбы параллелипипедальной и матрацевидной отдельности.

Граниты состоят из плагиоклаза № 15—20 (30—40%), кварца (25—30%), калишпата (5—10%), биотита и роговой обманки (5—10%), из темноцветных минералов обычно преобладает биотит. Аксессорные минералы представлены магнетитом и титаномагнетитом, сфеноном, апатит, циркон и сортит сравнительно редки. В катаклизированных разностях роговая обманка замещается эпилитом, по плагиоклазу развивается серицит, а биотит хлоритизируется. Структура гранитов порфировидная с гипидиоморфиозистой основной массой.

Средне- и мелкозернистые роговообманково-биотитовые, участками порфировидные граниты, граносиениты и гранодиориты составляют основную часть гранитоидов второй фазы и слагают бассейны рек Томпуды, Сиригли и частично Шенганды.

Гранитоиды светло-серого, серого, иногда розовато-серого цвета, разбиты трещинами на отдельности матрацевидной и параллелепипедальной, реже остроугольной формы.

На дневной поверхности крупноглыбовые россыпи гранитов покрывают склоны долин и водоразделов; в карах и картинах, на склонах долин и водоразделах они образуют зубчатые гребни и пики.

Среди массивных гранитоидов в правобережной части р. Томпуда (руч. Келелалова, Перешим, верховье руч. Иркандаш) и значительно меньшие в левобережной части р. Томпуда наблюдаются гнейсовидные разности, обусловленные ориентированным расположением темноцветных минералов. Кроме того, гранитоиды с гнейсовидной текстурой наблюдаются в контактовых частях батолита с вмещающими породами.

Среднезернистые разности гранитов часто наблюдаются в более глубоких частях батолита в долине глубоко врезанных рек и ручьев, тогда как краевые части его слагают мелко-зернистые разновидности. Порфировидные граниты встречаются редко и существенно отличаются от крупнозернистых порфировидных гранитов, окварцированных эпилитами, имеющих размеры 0,5—1 см, определен плагиоклаз, который имеет светло-серый цвет, вследствие чего они и не вы-

деляются на общем фоне породы. Количества вкраплениников обычно незначительное.

Граниты состоят из плагиоклаза (30%), кварца (20—25%), калишпата (5—10%), биотита, роговой обманки, реже пирокалишпата (5—10%), апатит и циркон. В гранодиоритах присутствуют сфеиниты, содержание темноцветных минералов, особенно роговой обманки (до 15%), кварц почти совсем исчезает, а кислый плагиоклаз переходит в олигоклаз—андезин. В граносиенитах уменьшается содержание кварца, увеличивается количество калишпата, который здесь преобладает над плагиоклазом. Содержание темноцветных остается более или менее постоянным.

Структура пород гипидиоморфиозистая, характеризующаяся большим идиоморфизмом плагиоклаза по отношению к другим минералам. Реже встречается порфировидная структура с гипидиоморфиозистой или аллотриоморфиозистой структурой основной массы. В участках, где много вкраплений коков, которые соприкасаются друг с другом, структура гранитов переходит в криптовую. Текстура массивная. В зонах тектонических нарушений наблюдается катакластическая структура.

Постмагматические процессы в гранитоидах проявлялись в серицитизации, эпилитизации и альбитизации плагиоклаза и в замещении роговой обманки биотитом. Наиболее интенсивное замещение плагиоклаза эпилитом и пренитом наблюдается в катаклизированных разностях.

Аplitы распространены не широко. Они имеют массивное сложение, состоят из плагиоклаза, кварца и микроклина. Для них характерны аллотриоморфиозистая структура и полное отсутствие темноцветных минералов.

Аplitы пронизывают граниты, часто пересекаясь между собой. Определенной ориентировки в их расположении не отмечено.

**Дайковые породы третьей фазы** баргузинского комплекса делятся на: а) гранит-порфир и микрограниты, б) диоритовые порфириты, в) плагиоклазиты.

Дайки приурочены обычно к крутоападающим трещинам. Определенной закономерности в ориентировке даек не наблюдается, но преобладает северо-восточное простирание.

Гранит-порфир и микрограниты встречаются среди гранитоидов второй фазы в правобережной части р. Томпуды и верховье р. Сиригли и реже среди гранитоидов первой фазы в бассейне р. Алла. Мощность даек 2—3 м, реже 5 м.

Гранит-порфир состоят из тонкозернистой полевошпатовой массы, среди которой различаются мелкие (0,5 мм) кристаллы плагиоклаза и калишпата, кроме того, присутствуют кварц и в меньшем количестве чешуйки биотита и мусковита. Гранит-

порфириты содержат вкрашенники плагиоклаза и кварца, макро-

граниты их не имеют.

Диоритовые порфириты — породы темно-серого с зеленоватым оттенком цвета, часто с включениями мельчайших зерен сульфидов. Основная масса диоритовых порфиритов состоит из очень мелких кристаллов плагиоклаза, роговой обманки и биотита. Вкрапленники представлены плагиоклазом. Структура горифиридинная, основной массы микропризматическая-зернистая. Плагиоклазиты встречаются в виде даек мощностью 0,5—1 м. Они состоят из плагиоклаза и очень редких чешуек мусковита. Структура ганидиоморфнозернистая, текстура массивная. Химическая характеристика гранитоидов северо-восточной части Баргузинского хребта приведена в табл. 1.

По А. Н. Заварикову (1950), гранитоиды баргузинского комплекса имеют параметры, соответствующие классам 2—4 (по величине параметра Q). Внутри этих классов каждая разновидность пород по величине отношения  $a : c$  относится к группе богатых и умеренно богатых щелочами. Для всех пород в той или иной степени характерно некоторое преобладание натрия над калием; коэффициент  $p$  изменяется от 55 до 82,3. Несколько особое положение занимает образец 31-а, взятый в верхье р. Лев. Бирамы. Для этой породы, в отличие от других, характерно повышенное содержание глинозема (коэффициент  $a$  равен 50,0).

При сопоставлении химических составов описываемых гранитоидов с верхнепротерозойскими гранитоидами района Икатского хребта, выделенных в баргузинский комплекс, отмечается, что эти гранитоиды по минералогическому составу и химизму. Граниты Витимского нагорья, бассейна р. Турки и Кидымта, описанные К. А. Шахварстовой (1954), также обнаруживают значительное химическое родство с рассматриваемыми гранитами.

Все вышеисписанные породы баргузинского комплекса прорывают «немые» осадочно-метаморфические толщи верхнего протерозоя, а также предшествующие им диориты и габбро-диориты икатского комплекса.

Длямагмы баргузинского комплекса характерна дифференциация от гранитов до сиенитов и гранодиоритов. Эта особенность гранитоидов отмечается на протяжении от хребта Улан-Бургасы до Южно-Муйского хребта, что не наблюдается в палеозойских интрузиях. Гранитоиды баргузинского комплекса имеют ограниченный состав дайковых пород, в то время как палеозойские интрузии имеют разнообразный дайковый комплекс (фельзит-порфириты, сиенито-диориты, вогезиты, спессартиты, аламеллиты и др.). Баргузинский комплекс гранитоидов слагает обширный pluton, протягивающийся на сотни километров, тогда как палеозойские интрузии встречаются малыми телами. В этой связи возраст гранитоидов

Таблица 1

Компоненты	1	2	3	4	5	6
SiO <sub>2</sub>	60,70	66,48	70,67	64,29	69,64	62,32
TiO <sub>2</sub>	0,16	0,47	0,34	0,35	0,44	0,19
Al <sub>2</sub> O <sub>3</sub>	19,48	16,01	14,37	15,34	17,06	12,35
Fe <sub>2</sub> O <sub>3</sub>	0,64	1,12	0,16	0,81	0,15	0,48
FeO	2,10	2,64	2,10	3,63	1,92	0,10
MnO	0,05	0,09	0,04	0,07	0,02	0,10
MgO	0,73	1,28	0,19	0,76	0,58	2,92
CaO	5,77	3,41	2,42	4,46	2,24	5,56
Na <sub>2</sub> O	6,47	3,36	3,81	3,06	4,46	3,10
K <sub>2</sub> O	2,22	4,05	4,27	3,77	3,68	1,82
H <sub>2</sub> O	0,01	—	0,03	0,18	—	0,08
H <sub>2</sub> O <sup>+</sup>	—	—	—	0,12	8,88	—
S <sub>0</sub> <sub>3</sub>	—	—	0,02	0,01	0,02	0,04
P <sub>2</sub> O <sub>5</sub>	—	0,19	0,14	0,20	0,06	0,01
Сумма	99,57	99,38	99,86	97,93	100,29	99,78

Числовые характеристики по А. Н. Заварикову

$a$	17,9	13,3	14,5	12,3	14,9	9,6
$c$	4,4	4,1	2,3	4,1	2,6	2,2
$b$	6,5	6,0	3,1	9,3	5,0	15,7
$S$	71,2	76,7	80,1	74,3	77,5	72,5
$Q$	+3,2	+22,5	+28,9	+19,9	+22,4	+23,6
$a'$	—	—	—	—	50,0	—
$c'$	42,1	1,2	20,0	16,0	—	30,9
$m'$	18,9	37,6	11,1	36,0	17,7	32,2
$f'$	39,9	61,2	68,9	48,0	32,3	36,9
$n$	82,3	56,6	57,0	55,5	65,5	71,7

- Обр. 464. Гранит. Среднее течение р. Улогны (Колесников, Анисимова, 1955).
- Обр. 540. Гранодиорит. Левый склон р. Томпуды выше устья р. Сог, зёмной (Колесников, Анисимова, 1955).
- Обр. 820. Гранит. Среднее течение р. Алая (Колесников, Анисимова, 1955).
- Обр. 879. Гранит. Водораздел кг. Разбой и Хожалы (Колесников, Анисимова, 1955).
- Обр. 31-а. Гранит. Верховья р. Лев. Бирамы (Колесников, Беличенко, Ескин, 1957).
- Обр. 54-в-2. Гранит. Галка базальный конгломератов нижнего кембрия р. Правый. Бирамы (Колесников, Беличенко, Ескин, 1957).

определяется как верхнепротерозойский. Но, по-видимому, не все граниты, выделенные на карте в баргузинский комплекс, являются одновозрастными. Не исключена возможность наличия среди них более молодых интрузий.

### НИЖНЕПАЛЕОЗОЙСКИЕ ИНТРУЗИИ

Нижнепалеозойский магматический цикл по составу и времени внедрения распадается на три комплекса: бирюминский интрузивный комплекс габбро-диабазов и габбро; витимканский комплекс гранитов, сиенитов и эгирии-авгитовых сиенитов; дайковый комплекс (фельзит-порфиры, микродиориты, сиенито-диориты, волгезиты, спессартиты, диоритовые порфиры).

### БИРЮМИНСКИЙ ИНТРУЗИВНЫЙ КОМПЛЕКС

Породы бирюминского интрузивного комплекса представлены небольшими телами габбро-диабазов и габбро, представляющими собой дифференциальную разновидность.

В долине р. Бирюмы (бассейн р. Томпуда) небольшие массивы габбро-диабазов и габбро прорывают известняки с фауной нижнего кембрия. Кроме того, они встречаются в верховье р. Прав. Намама. Всего на площади имеется четыре интрузива, размеры которых колеблются от 1,5 до 25 км<sup>2</sup>. Эти интрузивы представляют собой рвущие тела трещинного типа. Эти породы обычно темно-серые до черных мелко- и среднезернистого сложения массивной текстуры. В их состав входят пироксен (25—30%), плагиоклаз — до лабрадора (40%), пироксен и кварц. В катаклазированных разностях пироксен замещается роговой обманкой. Структура пород гипидноморфно-изогнистая, участками габбровая. Процессы автометаморфизма проявлены слабо и выражаются лишь в слабой альбитизации плагиоклаза.

Контактовые воздействия габбро-диабазов и габбро на породы кембрия выражены в образовании светлой слюды и хлорита по карбонатным породам (доломиты). Ширина измененной зоны равна 10—15 см. Непосредственно в самом контакте мусковитизация и хлоритизация проявлены интенсивнее, а в удалении слабее.

Послекембрийский возраст их устанавливается на основании эруптивных контактов с фаунистически охарактеризованным кембрием. С описанными породами связываются полиметаллическое и другие рудопроявления.

### ВИТИМКАНСКИЙ КОМПЛЕКС

Породы витимканского комплекса представлены гранитами, сиенитами и эгирии-авгитовыми сиенитами.

Границы слагают пять массивов, которые имеют вытянутое в северо-восточном направлении форму, соответственно господ-

ствующему простиранию складчатых структур. Три массива приурочены к северо-восточному, а два к северо-западному крылу синклинальной складки, а последний залегает среди гранитоидов баргузинского комплекса в северо-западной части плоскости листа, сложенной кембрийскими отложениями и осложненной многочисленными разрывами.

Массивы имеют сравнительно небольшие размеры (от 1,6×0,8 до 9×1,6 км) и только массив, расположенный в северо-западной части территории листа, около 10—12 км<sup>2</sup>. Граниты мелко- и среднезернистые, массивные, светло-серой, иногда розовато-серой окраски. Структура гранитов гипидоморфизированная и гранитная.

Минеральный состав гранитов: микроклин (около 50%), кварц (около 25%), плагиоклаз (20%), биотит (5%), единичные кристаллы роговой обманки; в качестве аксессорных минералов отмечаются орбит, апатит, циркон и рудный минерал. Решетчатый микроклин незначительно пелитизирован; размер зерен его от 0,1 до 1,75 мм. Ксеноморфные зерна кварца имеют размеры до 1,0 мм. Плагиоклаз образует идоморфные короткостолбчатые зерна зонального строения. Центральные части зерен сложены альбит—олигоклазом (№ 10), а периферические части несколько более кислого состава. По плагиоклазу развиваются листочки сериита. Биотит образует неправильные удлиненные пластинки.

На контакте гранитов с скарбонатными конгломератами цемент последних раскрытиллизован. В нем появляется эпидот. В некоторых участках в экзоконтактах массивов образуются гибридные породы зеленовато-серого цвета среднезернистого сложения. Мощность зоны ассимиляции не более 1—2 м. Структура гибридных пород габбровая с элементами пойкилитовой. Минеральный состав их: диопсид 75%, плагиоклаз 25%, сфеин, апатит и эпидот. Известняковые песчаники на контакте с гранитами превращены в кварц-карбонат-эпидотовую породу с пегматогранобластовой структурой.

Граниты на контакте со сланцами няндонинской свиты изменены. Они превращаются в гибридные породы, имеющие вид темно-зеленых роговиков или среднезернистых пород типа габбро. Структура этих пород панидноморфизированная, или порфировая. Минеральный состав их: обыкновенная роговая обманка (30—70%), андезин № 35 (30—50%) рудный минерал и биотит, в роговиковых разностях — эпидот (до 35%).

Нижнепалеозойский возраст гранитов устанавливается на том основании, что они прорывают фаунистически охарактеризованные отложения кембрия. Отсутствие в районе более молодых отложений, чем нижний кембрий, не позволяет точно определить верхнюю границу гранитов. При сравнении с другими нижнепалеозойскими гранитами, изученными рядом исследователей,

гелей на территории Байкальской горной области (Салоп, 1954, Шахварстова, 1954, Хренов, 1957), выясняется их сходство.

С послеплиоценомбрейскими гранитами в районе и за его пределами (Намама) связываются полиметаллическое и медное оруднения. Сиениты довольно широко распространены в среднем течении р. Согзённая, в бассейне р. Шегчанда и Кабанья. Небольшие массивы сиенитов встречаются в верховьях рек Кабаньей, Большой, Ирканда, Лев. Того и в приусадебной части руч. Разбой. Площадь массива сиенитов в среднем течении р. Согзённая равна 200 км<sup>2</sup>. Другие массивы имеют меньшие размеры.

По внешнему облику и формам выветривания сиениты резко отличаются от верхнепротерозойских гранитоидов своей более темной окраской и резкими формами выветривания в виде пиков, стен и башен. Они имеют серый с фиолетовым оттенком, серовато-розовый и темно-серый цвет. Характерна пятнистость, обусловленная скоплениями темноцветных минералов и гнейдообразным их расположением, главным образом биотита, роговой обманки и реже пироксена.

Интузия сиенитов характеризуется пестротой состава и раздифференцирована от монцонитов до габбро-сиенитов, связанных между собой переходами. Все разновидности в общем имеют одинаковый минеральный состав и различаются только неодинаковым процентным содержанием породообразующих минералов и содержанием апартитовой москитулы в плагиоклазе. Выделяются следующие разновидности: монцониты, сиениты, габбро-сиениты, габбро-диориты. Эти породы массивной текстуры, средне- и крупнозернистой структуры.

В краевых участках интузивов и в гипабиссальных телах, заполняющих иногда тектонические трещины, наблюдаются плагиосиенит-порфирты и плагиомонцонит-порфирты. Последние выделяются из остальных пород наличием вкраплениников полевого шпата, окрашенных в черный цвет, причем в отдельных участках (водораздел рек Шегчанда и Куркавки) размеры этих вкраплениников достигают 10 см в длину при ширине до 2—3 см.

Структура породы обычно гипидиоморфозернистая, участками аллотриоморфозернистая, в более основных разновидностях наблюдается габбровая. В плагиосиенитах в монцонит-порфирах структура порфировая или порфировидная, а основной ткань гипидиоморфозернистая или аллотриоморфозернистая. Кроме того, для порфировых пород характерна широкая текстура, обусловленная обособлениями микроперитовых вростков. В этих породах периты и антипериты встречаются часто. Реже отмечаются микромицекиты и микролегматитовая структура.

Монцониты состоят из плагиоклаза (андезин до лабрадора), калишпата, пироксена, роговой обманки и биотита.

Из акцессорных минералов отмечаются апатит, циркон, сфен, рудный минерал. Характерно равное содержание калишпата и плагиоклаза.

В стлике от монцонитов в сиенитах кислый плагиоклаз имеет подчиненное значение. Для габбро-сиенитов характерно преобладание калишпата над андезином, хотя темноцветные минералы, представленные биотитом и пироксеном, прислаывают (около 60%).

Габбро-диориты состоят из плагиоклаза, пироксена, биотита, темноцветных минералов увеличивается до 60%, что характерно для габбро, плагиоклаз же представлен андезином (№ 34—40), что характерно для диорита.

Постмагматические изменения сиенитов проявлены слабо и выражены в альбитизации, серпентинизации и эпилитизации плагиоклаза и в незначительной степени амфиболизации пироксена. Контактовые воздействия сиенитов на вмещающие породы устанавливаются далеко не везде. По левобережью р. Согзёнья на контакте известняков с монцонитами отмечаются пироксенные скарны. Ширина зоны скарнирования 10—20 см. Сиениты рвут отложения няндонинской и баргузинской свит. С гранитоидами Баргузинского комплекса интрузивных kontaktов не наблюдалось.

К нижнепалеозойскому тектоно-магматическому циклу сиениты отнесены условно на том основании, что они дают контактовые изменения вмещающих пород, аналогичные контактовым изменениям, наблюдаемым вокруг гранитоидов, рвущих заведомо нижнекембрийские отложения.

На Витимском плоскогорье аналогичные сиениты относятся к послекембрийским на основании эрутивных контактов с бурудинской свитой (Хренов, 1957), а также близостью химического и минерального состава с палеозойскими интузиями Витима (Шахварстова, 1948, 1954; Салоп, 1954). Этирин-авгитовые сиениты встречены только в одном месте — в бассейне р. Бол. Каргусы среди верхнепротерозойских отложений баргузинской свиты. Они образуют шток до одного километра в попечечнике.

Этирин-авгитовые сиениты представлены среднезернистыми и мелкозернистыми разностями серого цвета со слабо сиреневым оттенком. Характерной их особенностью является отсутствие плагиоклаза и наличие этирин-авгита. Основную массу породы составляет кальевый полевой шпат (45%), кроме того, присутствуют этирин-авгит (30%) и альбит (20%). Из акцессорных минералов отмечаются сфеен и апатит. Структура пород гипидиоморфозернистая, участками аллотриоморфозернистая. Возраст пород данной интузии устанавливается по аналити с Циниканским районом, где в долине р. Усой щелочные

граниты и сиениты рвут осадочные толщи, по-видимому, относящиеся к кембрию. Витимканский комплекс гранитов, сиенитов и эгирип-авгитовых сиенитов сопровождается жильными производными<sup>1</sup>.

#### Установлены две зоны концентрации даек: по правобережью

р. Томпуда, среди баргузинского комплекса гранитондов и в бассейне р. Бирамъя, среди отложений кембраия.

Господствующее простирание даек северо-восточное (40—45°); падение к юго-востоку, близкое к вертикальному; мощность их 1—2 м и редко достигает 5 м. Дайковый комплекс представлен фельзит-порфирами, сиенито-диоритами, микродиоритами, вогезитами и спессартитами.

Фельзит-порфиры имеют розовато-серый цвет. Они состоят из тонкозернистой полевошпатовой массы, среди которой разливаются мелкие, в пределах 0,1 м, кристаллы калишпата и плагиоклаза. На фоне тонкозернистой основной массы наблюдаются вкрашенники полевого шпата. В меньшем количестве присутствуют биотит и мусковит. Структура порфировая с лепидогранобластовой основной массой; текстура массивная.

Сиенито-диориты — темно-серые с фиолетовым оттенком породы, плотные, скрытокристаллические, с видимыми очень мелкими чешуйками биотита и скоплением мельчайших агрегатов зефера роговой обманки. Характерно присутствие большого количества темноцветных минералов, составляющих около 50%; калишпат (до 30%) преобладает над плагиоклазом.

Микродиориты имеют темно-серый цвет и плотное массивное сложение. Они состоят из мелких кристаллов плагиоклаза, роговой обманки и биотита, реже отмечается кварц. Темноцветные минералы составляют около 40% от всей массы породы. Из акцессорных минералов присутствуют сфеен, апатит и гуфальный минерал. Структура гипидроморфистическая; текстура массивная.

Вогезиты и спессартиты незначительно распространены и встречаются среди метаморфических пород на юго-восточном склоне Баргузинского хребта. Вогезиты состоят из альбита, калишпата и роговой обманки, изредка присутствует биотит. Темноцветные минералы преобладают (60%). Структура лампрофировая, текстура массивная.

Спессартиты внешне отличаются от вогезитов темно-серым цветом. Состоят из плагиоклаза, роговой обманки и редких зерен тироксена. В основной тонкозернистой массе присутствуют вкрашенники плагиоклаза. Структура пород порфировидная, основной массы призматическая-зернистая, текстура массивная.

Химическая характеристика послекембрийских гранитов приведена в табл. 2.

Таблица 2

Компоненты	1	2	3
$\text{SiO}_2$	68,82	52,78	48,66
$\text{TiO}_2$	0,46	0,93	1,00
$\text{Al}_2\text{O}_3$	17,63	22,63	16,00
$\text{Fe}_2\text{O}_3$	—	1,91	2,23
$\text{FeO}$	1,87	5,32	5,03
$\text{MnO}$	—	0,02	0,03
$\text{MgO}$	1,14	2,56	7,19
$\text{CaO}$	1,92	6,86	15,04
$\text{Na}_2\text{O}$	3,60	3,88	2,24
$\text{K}_2\text{O}$	3,70	1,52	0,32
$\text{H}_2\text{O}$	0,20	—	—
$\text{H}_2\text{O}$	0,48	0,32	0,84
$\text{SO}_3$	0,09	0,49	0,31
$\text{P}_2\text{O}_5$	0,06	0,06	0,07

Числовые характеристики по А. Н. Заварницкому

$\alpha$	12,5	11,4	5,2
$c$	2,2	9,3	8,2
$b$	11,0	14,8	19,6
$S$	74,3	64,5	57,0
$Q$	+21,0	-3,1	+5,4
$c'$	—	—	—
$a'$	68,6	18,2	—
$m'$	16,2	32,8	42,0
$m'$	15,2	49,0	23,1
$n$	59,8	79,0	92,1

I. Обр. 10. Гранит, верховья р. Лев. Бирамъя. Гранодиорит, развал рек Пралы и Лев. Топо.

2. Обр. 49. Гранодиорит, развал рек Пралы и Лев. Топо.

3. Обр. 87. Диорит, верховья р. Лев. Топо.

Данные анализа и числовые характеристики послекембрийских гранитов по Заварницкому показывают, что последние отличаются не только по своему структурному положению, но и по составу. В противоположность верхнепротерозойским гранитам послекембрийским гранитам присущее более высокое содержание фемицеских компонентов ( $\alpha$  11,0—19,6), перенесенное содержание кремнезема ( $Q$  3,1—21,0) и глинозема ( $a$  18,2—68,9). Соотношение щелочей характеризуется преобладанием натрия ( $n$  59,8—92,1).

<sup>1</sup> Часть дайковых пород витимканского комплекса — сиениты, вогезиты и спессартиты, по-видимому, имеют верхнемезозойский возраст. Прил. ред.

## ТЕКОНИКА

В тектоническом отношении район относится к геосинклинальной зоне верхнепротерозойского времени. В раннем палеоэне эта территория представляла собой остаточную геосинклиналь, которая скончательно вошла в состав Сибирской платформы к концу кембрийского периода. В мезо-кайнозойское время область была вовлечена в Байкальское сводовое поднятие.

В тектонической структуре района основное значение имели архейские, верхнепротерозойские, кембрийские и мезо-кайнозойские движения.

Структура района характеризуется нарастающей ролью разрывов по мере развития и колсолидации этого участка земной коры. Особенно большое значение разрывы получили в последовательное время. При этом выясняется их унаследованное развитие от древних нарушений.

*Архейские структуры.* Архейские образования на площади листа пользуются весьма незначительным распространением и представляют собой остатки кровли, сохранившиеся среди изверженных пород. Поэтому расщепка их структур затруднена. Архейские породы интенсивно смяты в мелкие складки, осложненные микроскладками и плойчатостью. Складки имеют северо-восточное простирание с крутыми углами падения крыльев (до  $85^\circ$ ) ЗСЗ, ВСВ. По данным В. И. Навиль, они являются частью крупной антиклинальной структуры, развитой к юго-западу за пределами района и ограниченной с запада водами. Байкал, а с востока — разломом.

*Верхнепротерозойские структуры.* Верхнепротерозойский структурный ярус, выраженный отложениями няндоминской и баргузинской свит, представлен Баргузино-Катерским синклиниорием, выделенным на северо-востоке по простиранию этих свит в районе рек Катера и Няндомы (Салоп, 1948). На плоскости листа выходит только центральная часть и северо-западное крыло этого синклиниория. Юго-восточное крыло уничтожено интрузией гранитоидов, слагающих юго-восточный склон Баргузинского хребта. Ядро синклиниория сложено породами баргузинской свиты, а северо-западное крыло — породами няндоминской свиты. Баргузино-Катерский синклиниорий в общем имеет северо-восточное простирание ( $40—50^\circ$ ) с местными отклонениями до широтного и даже северо-западного направления (среднее течение рек Прав. и Лев. Того и правобережье р. Согзённая). Наблюдается возымение шарнира синклиниория как в северо-восточном направлении (район среднего течения р. Улогна), где отложения баргузинской и частично няндоминской свит сменяются гранитоидами, так и в юго-западном направлении (верховье рек Шегнанда и Кабанья и правобережье р. Согзённой), где также отложения няндоминской и баргузин-

ской свит рвутся гранитоидами. О возымании шарнира на юго-запад указывает намечающееся переклинальное замыкание его в районе правобережья р. Согзённой.

Внутреннее строение синклиниория осложнено дополнительной складчатостью второго и более высоких порядков. Так, на юго-восточном склоне Баргузинского хребта, в верховьях рек Большая, Долсы, Сухитке и Ендыыхык прослеживается антиклинальная складка, несколько восточнее в верховье р. Талинга наблюдается вторая антиклинальная складка, разделявшая синклиналью. Простирание второстепенных складок северо-восточное  $45—50^\circ$ . Ширина первой антиклинальной складки около 4 км., длина 30 км. В районе верховий рек Большая и Долсы гранитами срезано ее северо-западное крыло, а в районе верховий рек Сухитке и Ендыыхык — юго-восточное крыло антиклинали. От второй антиклинальной складки сохранилось только ее северо-восточное переклинальное окончание (ширина складки около 5 км.). В обеих антиклинальных складках наблюдается погружение шарниров к северо-востоку и вздымание к юго-западу. В ядрах антиклиналей выходят высокометаморфизованные породы няндоминской свиты, представленные различными гнейсами с подчиненными пропластками карбонатных пород. На крыльях они перекрываются карбонатными породами баргузинской свиты. Осевые плоскости складок наклонены на юго-восток, в результате чего северо-западные крылья имеют углы падения от  $40$  до  $70^\circ$ , а юго-восточные  $70—80^\circ$ .

Дальше в юго-восточном направлении породы баргузинской свиты собраны в ряд более мелких синклинальных и антиклинальных складок, главным образом изоклинальных, наклоненных к юго-востоку с падением на северо-запад  $300—330^\circ$  с углами падения в пределах  $60—70^\circ$ .

На водоразделе Баргузинского хребта породы баргузинской свиты интенсивно смяты в более мелкие складки северо-восточного простирания как симметричные, так и асимметричные с углами падения крыльев от  $30$  до  $50^\circ$ , среди которых частично наблюдаются опрокинутые на юго-восток складки, с углами падения крыльев от  $20$  до  $40^\circ$ . По простиранию шарниры складок ундируют, что усложняет общую структуру.

Северо-западное крыло синклиниория, сложенное породами няндоминской свиты, смято, как правило, в дополнительные изоклинальные складки, опрокинутые в верховьях р. Намама на северо-запад с падением крыльев на юго-восток  $130—140^\circ$ , реже  $160^\circ$ , при углах падения от  $30—40^\circ$  до  $70—80^\circ$ . На водоразделе рек Томпуда и Прав. Бирамы опрокидывание складок наблюдается на юго-восток с падением пластов на северо-запад под углами  $60—80^\circ$ . На контактах с гранитоидами в породах баргузинской и няндоминской свит наблюдаются мелкие складки вложечения, обычно опрокинутые в сторону от массивов гранитоидов и постепенно затухающие по мере удаления от последних.

В районе между реками Нюндо и верховьями Прав. Намама близ массива гранитоидов баргузинского комплекса простирание складок ориентировано параллельно контуру массива. Породы здесь падают на северо-запад в сторону от массива под углами 60—80°, образуя опрокинутую складку. Общая сложная картина складчатости в значительной степени усложнена последующей разрывной тектоникой.

Верхнепротерозойская складчатость сопровождалась проявлениями магматизма. При этом выделяются три фазы магматизма: доскладчатая, складчатая и послескладчатая.

Доскладчатая фаза магматизма проявилась в формировании тел диабазовых порфиритов, габбро-диоритов и излиянием магмы среднего и основного состава, фиксирующих как эфузионные породы, которые приняли участие в складчатости. Вторая складчатая фаза магматизма проявилась в формировании кососекущих и пластовых интрузий габбрового и габбро-диоритового состава. По-видимому, к этой фазе относится начало внедрения гранитоидов баргузинского комплекса первой фазы, часть жильных тел которой смята в складки, согласные с вмещающими породами. Основная же масса их, в том числе и гранитоиды второй фазы, внедрилась уж в послескладчное время. Для верхнепротерозойского магматического цикла характерно внедрение крупных интрузий типа батолитов (Баргузинский), протягивающихся на сотни километров, причем внедрение гранитных интрузий происходило, вероятно, не пассивно, приурочиваясь к готовым структурам, а сама интрузия создавала определенные структуры.

*Кембрийские структуры.* Отложения кембрия, составляющие кембрийский структурный ярус, залегают в трапециевидном простирании (45—50°). С северо-запада и юго-востока грабен ограничен тектоническими зонами, сходящимися в юго-западном и расходящимися в северо-восточном направлении, отчего грабен в плане имеет подобие треугольника шириной в юго-западной части 1,5 км., в северо-восточной 9,5 км.

Кембрийские отложения образуют синклинальную складку северо-восточного простирания (45—50°). Наиболее полно сохранилось северо-западное крыло синклинали, сложенное породами турикской и бирамынской свит, юго-восточное крыло ее срезано тектонической зоной, отложение турикской свиты здесь отсутствуют, и породы бирамынской свиты непосредственно приводятся в стык с отложениями яндюнинской свиты ( $P_{2nd}$ ). Иркандинская свита залегает в ядре синклинальной складки. Синклиналь имеет симметричное строение с крутым падением крыльев (от 50 до 70°). Шарнир складки воздымается в северо-восточном и погружается в юго-западном направлении. Внутреннее строение синклинали осложнено антиклинальными и синклинальными складками второго и третьего порядка, имеющими также северо-восточное простирание, с падением

кульев на северо-запад и юго-восток под углами 50—70°. Кроме того, общая картина структуры сильно затушевана и усложнена широко развитой здесь дизъюнктивной тектоникой. В общем кембрийские структуры имеют общий тектонический план с верхнепротерозойскими структурами и знаменуют собой конец геосинклинального развития данного участка земной коры и начало длительного континентального периода. Кембрийская складчатость также сопровождалась магматизмом. В отличие от верхнепротерозойского магматизма нижней палеозойские интрузии имеют ограниченное распространение. Как правило, небольшие размеры тел, приуроченные к крупным разрывам и повышенную целочность пород.

*Мезо-кайнозойские структуры.* После каледонского диастрофизма данная область перешла в стадию платформенного режима, продолжавшегося до мезозойского времени. Движение, начавшиеся в юрское время в области байкальских кaledонид и за пределами их, проявились в формировании сводового по-видимому, в современную эпоху, шло в сторону их углубления и поднятия разделенных их хребтов. Баргузинский хребет и Баргузинская впадина являются элементами второго порядка, входящими в систему Байкальского мезо-кайнозойского антиклинария. Если принять современный размах относительных высот от жесткого фундамента Баргузинской впадины до наивысшей отметки Баргузинского хребта (2714,0), то он составляет 3700 м. Такой резкий размах движений, происходящий в жестком субстрате, сложенном метаморфизованными породами и прорывающими их интрузивными образованиями, сопровождался многочисленными разломами земной коры, сопутствующими изгибам жесткого субстрата. Всего вероятнее, что большая часть молодых разломов унаследовала зоны древнейших разломов.

Дизъюнктивные нарушения, как это отмечалось выше, разбиты широко. Имеющиеся данные не позволяют разделить их в возрастном отношении, но несомненно, что многие из тектонических зон заложились еще в протерозойское время и обновлялись в последующие эпохи и особенно в мезо-кайнозойское время.

Наиболее интенсивно разрывные нарушения развиты на юго-восточном склоне Баргузинского хребта и в бассейне р. Биймы. По-видимому, крунейшим глубинным разломом является Баргузинский сброс, протягивающийся вдоль подножия юго-восточного склона Баргузинского хребта в северо-восточном направлении (40—45°). Общая протяженность его достигает сотен километров, но в пределах описываемой площади он прослежен на 34 км. В районе выхода из гор Р. Шеберса на-

блодается раздавливание этого сброса. Вторая его ветвь идет от р. Шеберса через среднее течение р. Олго, верховья р. Индихон и далее ниже устья р. Иниарики в виде пологой дуги.

Баргузинский сброс отделяет высокогорную область от Баргузинской впадины в виде резкого уступа. Отметка русла р. Алла у выхода из гор, у сброса, около 700 м, а отметка вершины, отстоящей на 1,2 км от сброса, равна 1758 м, т. е. абсолютное превышение достигает 1000 м. Сброс хорошо выражен в рельефе; он также картируется по мионитам, катаклазитам и зеркалам скольжения. В плане линия сброса неровная, волнистая, вогнутостями ориентирована в отрицательные формы рельефа, что указывает на то, что поверхность сброса падает на северо-запад, угол падения кругой (в пределах 80°).

Вторая ветвь сброса, прослеживающаяся на 15 км, также имеет северо-восточное простирание. Сброс этот хорошо выражен в рельефе в виде уступа и сопровождается тектонитами. Амплитуда этого сброса, по-видимому, меньше. Относительное превышение высокогорной части над тектоническим клином, зажатым между этими сбросами, около 600—700 м.

Баргузинский сброс имеет глубокое заложение, о чем свидетельствуют горячие минеральные источники — Аллинский и Дыренский, температура которых на поверхности доходит до 56°. Баргузинский сброс сопровождается массой более мелких сбросов, прослеживающихся на расстоянии до 3—4 км вглубь хребта. Эти опирающиеся и субпараллельные сбросы фиксируются по наличию мионитов, зеркал скольжения и катаклазитов. Баргузинский сброс играет важную роль в формировании Баргузинской впадины, смещения по которому происходили неоднократно.

Второе крупное тектоническое нарушение на юго-восточном склоне хребта прослеживается в верховье р. Сухитке, в левобережной части р. Кабанья, в верховье рек Ендыых и Инанрикта. На участке между Прав. и Лев. Сухитке сброс выражен в рельефе в виде уступа с опущенным юго-восточным крылом. В оставшихся участках он сопровождается зонами дробления с катаклазитами и мионитами. Общая протяженность его до 60 км.

Юго-восточнее этого сброса, в 1,5 км выше по р. Сухитке, проходил второй сброс, ориентированный параллельно первому. Он прослежен по пострианию на 8 км и отмечается зонами дробления и катаклаза, которые захватывают как гнейсы, так и граниты. В зоне разлома породы интенсивно обхрены.

Сброс в верховьях р. Алла имеет северо-восточное простирание. В юго-западном направлении он прослеживается через верховья р. Шенанды в левобережную часть верховий р. Кабанья, Сбр. в зонах дробления в гранитах и известняках, присутствующих в гранитах в виде ксенолитов, катаклазитам иногда по разgne-сованности гранитов. Кроме того, в верховьях р. Алла он хо-

рошо выражен в рельефе в виде уступа с поднятym юго-восточным и опущенным северо-западными крыльями.

В правом борту правой вершины р. Алла к зоне разлома приурочено сульфидное оруденение, представленное мелким рассеянным вкраплением сульфидов, среди которых паблюдатыся отдельные чешуйки молибдена. Зона с сульфидным оруденением имеет ржаво-бурый цвет за счет окисления гидроокислов железа, которая хорошо прослеживается на большие расстояния на фоне светло-серых гранитов.

Кроме перечисленных сбросов, на юго-восточном склоне хребта отмечается ряд разломов в бассейне р. Улогна. Крупная тектоническая зона приурочена к р. Бол. Каргусы, в долине которой наблюдаются многочисленные зоны дробления, катаклаза, зеркала скольжения и обхоренность пород. К северо-западу обнаружено еще два разлома северо-восточного простирания. Один из них имеет незначительное протяжение, второй — яется на большее расстояние и проходит в верховьях р. Прав. Анкокон; здесь под углом к нему отмечается тектоническая зона, к которой приурочены долина р. Анкокон. Все эти нарушения хорошо картируются по зонам дробления, катаклаза, зеркала скольжения и, как правило, породы, в которых наблюдаются разломы, имеют ржаво-бурую окраску. С первым разломом связано сульфидное оруденение, представленное мелким вкраплением пирита. Часто к этим разломам приурочены холодные сероводородные источники.

По всей видимости, крупное тектоническое нарушение типа сброса проходит по долине р. Улогна. Об этом свидетельствуют отвесные прямолинейные борта долины, у подножия которых выходят минеральные источники (холодные), тектониты, часто окрашенные в ржаво-буруй цвет, и что особенно характерно на продолжении долины р. Улогна в восточном-юго-восточном направлении Баргузинская впадина резко обрывается, и к северу от этой линии р. Баргузин имеет неширокую типично горную долину.

Помимо этих более крупных и хорошо выраженных разломов на юго-восточном склоне Баргузинского хребта отмечено большое число более мелких нарушений, имеющих не только северо-восточное, но и самые разнообразные простирания, часто пересекающиеся. Все они хорошо картируются по мионитам, катаклазитам и зеркалам скольжения.

На северо-западном склоне Баргузинского хребта разрывные тектонические нарушения развиты несколько слабее. Наиболее крупный разлом здесь проходит от р. Юкта на юго-западе, через верховья р. Кадаун, среднее течение р. Шенанды в бассейне р. Согзэнная на северо-востоке, где, по-видимому, на его продолжении расположены Согзэнский горячий сероводородный источник. Общее простирание разлома северо-восточное (45°). В районе между рекой Юкта и верховьями р. Кадаун он раз-

дванывается. Видимая амплитуда сброса 400 м. Юго-восточное крыло опущено. В зоне сброса имеют место заходы трещин-точек.

Несколько северо-западнее под углом к данному разлому подходит другой разлом, по которому контактируют гранитоиды первой и второй фаз баргузинского комплекса. В зоне разлома породы катаклизированы.

Следует отметить разлом в среднем течении р. Нижн. Слюянка, который прослеживается дальше на северо-восток в долине к. Захаровского. В юго-западном направлении он уходит далеко за пределы района и отделяет архейские образования от пристерозойских.

Второй участок широкого развития дизьюнктивных нарушенний приурочен к полю развития кембрийских отложений (бассейн р. Бирямы). Здесь мощные разломы обусловили образование грабена, в котором залегают кембрийские отложения (45–50°). Они заложились здесь еще в пристерозойское время. Эти ослабленные участки в верхнетретерозойское время были использованы основными интрузиями, о чем свидетельствует линейно вытянутая форма тел последних. В нижнепалеозойское время по этим разломам произошло внедрение основной ( $\gamma P_{2,vt}$ ) и кислой ( $\gamma P_{2,vt}$ )магм.

В мезо-кайнозойское время разрывная тектоника, по-видимому, достигла наибольшего размаха. Вертикальные перемещения происходили как по ранее заложившимся, так и по новым образовавшимся зонам. Нижнепалеозойские интрузивы, въскрывающиеся по ранее образовавшимся тектоническим зонам, а также кембрийские осадочные образования претерпели дробление и катаклиз. Многие сбросы в настоящее время хорошо выражены в рельфе в виде уступов, к которым часто приурочены выходы многочисленных источников и трещинных вод.

Помимо разрывных нарушений со смещением, в районе широко развиты разрывные нарушения без смещения. Проявляются они в виде кливажа, сланиватости и трещиноватости осадочных и метаморфических пород; трещиноватость развита главным образом в изверженных породах, особенно в гранитах. К трещинам в породах нижнодининской свиты приурочены кварцевые и кварц-карбонатные жилы, часто несущие сульфидное оруденение.

## МЕТАМОРФИЗМ

Основной причиной разногласий и споров среди исследователей при установлении возраста баргузинской свиты явился высокий метаморфизм ее.

В составлении главы «Метаморфизмы» принимали участие сотрудники ВСФАН В. Г. Беличенко и А. С. Ескин.

ший впервые баргузинскую свиту как самостоятельную стратиграфическую единицу отосил ее к архею, основываясь только на высокой степени метаморфизма. При этом В. В. Домбровский подчеркивал условность этого определения.

Н. И. Фомин (1947) определил возраст баргузинской свиты как нижнетретерозойский и отелил ее от нижнодининской свиты, которую он относил к верхнему пристерозою—нижнему кембрию (?). Характеризуя степень метаморфизма пород баргузинской свиты, Фомин отметил, что она не сопоставляется с высокометаморфизованными породами слюдянской свиты архея.

Другие исследователи (Салоп, 1948, Гурулев, 1954, Шобогоров, 1955 и др.) при решении вопроса о возрасте баргузинской свиты исходили прежде всего из наблюдений о взаимном стратиграфическом положении ее с нижнодининской свитой. Высокую степень метаморфизма пород баргузинской и частично нижнодининской свит эти исследователи связывают в той или иной степени с воздействием гранитоидов баргузинского комплекса и пегматитами.

Как указывалось в главе «Стратиграфия», нижнодининская свита связана с баргузинской постепенными взаимопереходами, наблюдавшимися в разрезах по руч. Ниромакит, р. Того, верховьях рек Намамы и Лев. Бирямы.

Наблюдения показали, что вопрос о возрасте и положении этих двух свит невозможно решить без рассмотрения многофазного метаморфизма. В связи с этим ниже основное внимание уделяется kontaktовому метаморфизму, вызванному гранитоидами баргузинского комплекса. Kontaktовые изменения, связанные с внедрением других интрузивных комплексов, охарактеризованы схематично, так как они не играли определяющей роли в преобразовании пород описываемого района. Совсем не рассматриваются постмагматические процессы и процессы взаимного контактового воздействия интрузивных комплексов. Имеющийся материал позволяет представить следующую схему фаз и фаций метаморфизма:

1. Региональный метаморфизм.  
1. Контактовый метаморфизм, связанный с гранитоидами баргузинского комплекса.
  - а) Контактовый метаморфизм.
  - б) Контактовый метаморфизм, связанный с гранитоидами баргузинского комплекса.
    - а) Контактовый метаморфизм.
    - б) Контактовый метаморфизм.
2. Контактовый метаморфизм, связанный с послекембрийскими интрузиями сиенитов и гранитоидов.

III. Явления метаморфизма в породах нижнего кембрия.

Область регионального метаморфизма. На схеме метаморфизма (рис. 2) она выделяется в виде полосы северо-восточного простирания, протягивающейся от устьевой части р. Того до вер-

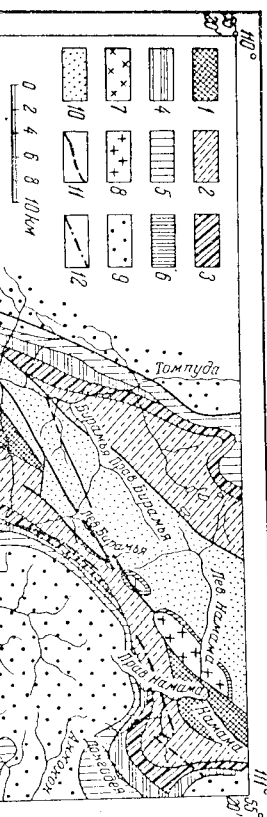


Рис. 2. Схема фаз и фаций метаморфизма для центральной части Баргузинского хребта (составили З. М. Анистимова, В. Г. Беличенко, А. С. Есекин)

Региональный метаморфизм: 1 — фации серпент-хлоритовая, контактовый метаморфизм, связанный с гранитоидами баргузинского комплекса; 2 — биотит-хлоритовая фация; 3 — альмандин-тиреоксен-гранатообмывовая фация; 4 — амфиболитовая фация; 5 — контактовый метаморфизм, связанный с гнейсами, изверженные породы; 7 — сибирский гипогазомит-гранитоидов; 8 — граниты каледонского комплекса; 10 — кембрийские отложения; 11 — линия тектонических нарушений; 12 — граница южноиндийской и баргузинской свит

Ховьев Р. Намама. Границы области регионального метаморфизма нечеткие. Это связано с тем, что последующие процессы kontaktового метаморфизма в толцах, значительно удаленных от контактов с магматическими городами, происходили в термодинамических условиях, весьма близких к условиям регионального метаморфизма. Последний характеризуется однородностью и выдержанностью на значительной площади.

Региональный метаморфизм проявлен не только в некоей перекристаллизации пород, но и в образовании определенного комплекса характерных минералов. К ним следует отнести прежде всего хлорит и серцит. Наряду с этими минералами наблюдаются карбонаты, кварц, слабо окрашенные низкотемпературные амфиболы типа актинолита. Иногда встречаются порфиробласти биотита. Перечисленные выше минералы являются определяющими для характеристики парагенезисов фаций, выделяемой для регионального метаморфизма.

Поскольку метаморфизм рассматриваемой фазы является, по сути дела, начальной стадией метаморфической эволюции разнообразных по химическому составу пара- и ортогород, то число новых образованных минералов весьма ограничено.

Породы региональной фазы метаморфизма представлены серыми и зеленовато-серыми тонко- и мелкозернистыми, слоистыми и темно-серыми известняками. Характерными минералами для глинистых пород являются хлорит, серцит, кварц, карбонат. Кроме этих определяющих минералов, присутствуют углистое вещество, незначительное количество биотита, титаномагнетита, сульфиды железа. Углистое вещество равномерно распылено в виде мельчайших частичек, придавая породе темно-серую и черную окраску. Биотит представлен мелкими чешуйками с неправильными очертаниями, слабо плеохроирующими. В породах этой фазы наряду с вышеуказанными минералами представляющими новообразования, присутствуют реликтовые минералы, такие как полевые шпаты, турмалин.

Для этих пород характерны микрокластические структуры с элементами бластоалевролитовой и бластопсаммитовой. Все указанные выше изменения пород свойственные серцит-хлоритовой фации метаморфизма — фации зеленых сланцев (Тернер, 1951).

Региональный метаморфизм связывается авторами с процессами складкообразования, происходившими до внедрения гранитоидов баргузинского комплекса.

**Контактовый метаморфизм.** Контактовый метаморфизм, связанный с внедрением гранитоидов баргузинского комплекса, проявлен весьма широко в пределах Баргузинского хребта, в осевой части которого он достигает наивысшей степени. По своему характеру kontaktовый метаморфизм является термальным без отчетливых признаков метасоматоза.

Своеобразное сочетание формы гранитоидных тел с вмещающими породами, создающее в большинстве случаев пологие контакты, привело к широкому площадному развитию kontaktового метаморфизма. Это позволяло некоторым исследователям

лям (Салоп, 1948) вылетать в подобных случаях особый вид метаморфизма — регионально-контактовый.

В участках, где имеет место сочетание крутых контактов гранитоидов с падением вмещающих пород от интрузивов, наблюдалось сужение (в плане) температурных ступеней до минимума (водораздел рек Улогна и Лев. Бираты).

В описываемом районе наблюдается полная гамма температурных ступеней от самой низкой — биотит-хлоритовой (близкой к фазе регионального метаморфизма) до ступени, близкой к гранулитовой (Фернер, 1951).

Как видно из прилагаемой схемы (см. рис. 2), контуры выделенных фаций метаморфизма не совпадают с контурами выделенных на геологической карте свит и пересекают их под разными углами. Это связано с тем, что различные участки свит попадают в различные температурные условия, решающим фактором в формировании которых явилось взаимное положение вмещающих пород и гранитоидов баргузинского комплекса.

В основу выделения фаций было положено изучение ассоциаций минералов и текстурно-структурных особенностей пород, характерных для определения термо-динамических ступеней.

Биотит-хлоритовая фация характеризуется, как это видно на диаграмме (рис. 3), интенсивным образованием биотита в первично-глинистых породах. Последний становится здесь одним из главных минералов. Биотит присутствует в породах в виде чешуек и порфиробласт, часто сидовидных (включения квагца, хлорита, серицита и т. п.), интенсивно преохрупивающих. Для него характерна структура «плотеречной столовь».

Хлорит и серицит, хотя и присутствуют в породах, но играют явно подчиненную роль. В значительном количестве появляется низкотемпературный слабо окрашенный амфибол. Углистое вещество, присущее в глинистых породах, концентрируется в сгустки, обуславливая пятнистую текстуру.

Биотит-хлоритовая фация включает следующие разновидности сланцев: биотит-кварц-хлоритовые, биотит-серicit-кварцевые, серicit-хлорит-кварцевые с порфиробластами биотита, кварц-карбонатные микросланцы, а также метаморфизованные алевролиты и песчаники.

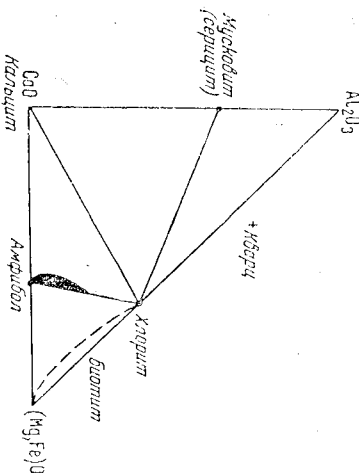


Рис. 3

В карбонатных породах происходит неравномерная частичная перекристаллизация и концентрация углистого вещества в сгустки. Карбонатные породы с примесью глинистого вещества содержат в своем составе бесцветную слюду. Для пород биотит-хлоритовой фации характерны микрограммобластовая и микрогранолептиобластовая структуры, почти всегда в сочетании с порфиробластовой (за счет биотита). Парагенезисы минералов для этой фации изображены на диаграмме, отражающей систему  $\text{Al}_2\text{O}_3$ ,  $\text{CaO}$  ( $\text{Fe}, \text{Mg}\text{O}$ ) при избытке  $\text{SiO}_2$ . Особо следует отметить проявление почти во всех породах как глинисто-силикатного, так и глинисто-карбонатного состава, споды (биотита, мусковита и бесцветной слюды), что свидетельствует о значительном содержании  $\text{K}_2\text{O}$ .

Биотит-гранат-актинолитовая фация выделяется на схеме в виде узкой извилистой полосы, протягивающейся от руч. Ниромакит через р. Топо к верховью р. Намамы и в вершине р. Томпуды.

Характерно появление в этих породах граната<sup>1</sup> в виде зерен

размером 3—5 мм с очертаниями ромбододекаэдра. Кроме того,

в незначительном количестве обнаруживаются порфиробласты дистена с диабластической структурой («вкрапления» биотита, кварца). Титаномагнетит, присущий в первично-глинистых породах биотит-хлоритовой фации, здесь превращается в агрегаты мелких зерен сфена.

Карбонатные породы почти полностью перекристаллизованы и освобождены, сохранившиеся пелитоморфные участки носят реликтовый характер. Углистое вещество, наиболее чувствительное к изменениям термодинамических условий, в породах биотит-гранат-актинолитовой фации преобразовывается из сгустков в отдельные мелкие чешуйки графита.

В биотит-гранат-актинолитовую фацию объединены следующие разновидности пород: биотит-слюстистые микросланцы, микрокварциты, листеново-кварцевые микросланцы, гранат-серicit-биотитовые сланцы, амфиболиты с гранатом, гранат-биотитовые сланцы, графит-тремолит-карбонатные сланцы, актинолитовые амфиболиты, кварц-актинолит-биотитовые сланцы и мелко- и среднезернистые мраморы с мелкими чешуйками графита. Характерными структурами для пород этой фации являются гранобластовая, лепидогранобластовая, немагобластовая.

<sup>1</sup> Состав граната: альмандин 59,8%, пироп 28,7%, спессартит 0,7%, андрадит 4,8%, гроссуляр 2,3%, шорломит 3,7%. Показатель преломления близок к 1,780.



ственные форстерита. Углистое вещество во всех городах этой фации превращено в чешуйчатый графит. На приводимой диаграмме (рис. 7) отражены парагенезисы минералов в данной фации метаморфизма. Диаграмма отражает эти закономерности для пород глинисто-силикатного состава. Рассмотрим отдельные поля диаграмм.

Поле I. Важнейшими минералами являются плагиоклаз, альмандин, силлиманит, почти постоянно присутствует биотит, а в инъекционных разностях — микроклин. Этому полю диаграммы соответствуют по своему химическому составу и парагенези-

сам такие породы, как биотитовые плагиогнейсы, биотит-гранатовые пла-

гиогнейсы, биотит-гранат-

силиманитовые пла-

гнейсы и их инъекцион-

ные аналоги.

Поле II. Определяю-

щие минералы: альман-

дин, роговая обманка,

плагиоклаз. В переменном

количестве присутствуют

кварц, биотит, в инъекци-

рованных разностях — ми-

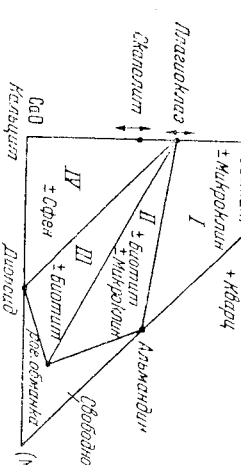
кроклины.

Рис. 7

Соответственно мине-  
ральному составу в этом  
поле выделяются разнообразные гранат-роговообманково-пла-  
гииловые и кристаллические сланцы и плагиогнейсы. Биотит,  
устойчивый во всех парагенезисах данной фации, присутствует  
в этих городах в переменном количестве. Присутствие микро-  
клина обнаруживается только в инъекционных разностях.

Поле III. Отвечает городам двух основных групп. В первую входят разнообразные роговообманковые и биотит-рогово-  
обманковые плагиогнейсы и кристаллические сланцы. Они свя-  
заны взаимопереходами с диопсидодержащими плагиоклазо-  
выми сланцами и реже плагиогнейсами.

Поле IV. Соответствует широкому ряду разновидностей карбонатных и силикатно-карбонатных городов баргузинской сви-  
ты, имеющих на глоцади рассматриваемой фации наибольшее рас пространение. Определющим парагенезисом для этого поля является ассоциация кальцит-диопсид-плагиоклаза (скаполит), кварц. При незначительном содержании кремнезема в избытке магнезии происходит образование форстерита. По минеральному составу здесь выявляются следующие петрографические разно-  
сти: среднезернистые и крупнозернистые белые мраморы с гра-  
фитом; кальцифиры с диопсидом, форстеритом, плагиоклазом,  
каварцем.



Парагенезисы минералов в карбонатных городах в условиях выделяемой альмандин-пиroxен-роговообманковой фации изображены на диаграмме 5 — система  $\text{SiO}_2 - \text{Mg} - \text{Al}_2\text{O}_3$  при избытке  $\text{CaCO}_3$  (рис. 7).

Выше были рассмотрены характерные парагенезисы, структурные и текстурные признаки городов в условиях наиболее выской температурной фации метаморфизма данного района. Как указывал Н. И. Фомин (1947), эти условия нельзя параллелизовать с условиями алдано-слюдянской фации метаморфизма, присущей всем архейским образованиям. Прибайкалья и Алдана. Н. И. Фомин объяснял эти различия отсутствием среди городов баргузинской свиты пироксен-амфиболовых (?) гнейсов и флогопита. Действительно, гнейсы и кристаллические сланцы баргузинской свиты заметно отличаются от типичных архейских образований (Алданский щит, слюдянская свита и т. д.). Но указанные отличия нельзя ограничивать этими чисто формальными признаками. По мнению авторов высокометаморфизованные городы баргузинской свиты существенно отличаются от метаморфических образований архея по целому ряду признаков.

Прежде всего следует отметить тот факт, что для архейских метаморфических комплексов Восточной Сибири характерна исключительная однородность проявленной регионального метаморфизма. При этом не сохраняются никакие реликты низкотемпературных ассоциаций, первично обломочных структур, а постепенные переходы к почти неизмененным городам вообще отсутствуют. Как мы показали выше, в высокометаморфизованных городах баргузинской и яндонинской свит проявлен существенно иной, своеобразный контактовый тип метаморфизма, при котором, с одной стороны, сохраняются постепенные переходы от осадочных городов (алевролиты, песчаники, мергели и т. д.) к кристаллическим сланцам, гнейсам и мраморам по мере приближения к гранитным телам, а с другой — имеются условия для широкого планового развития метаморфических городов каждой из выделенных фаций.

Парагенетические закономерности в рассмотренных высокометаморфизованных городах не отвечают ассоциациям, характеризующим алдано-слюдянскую фацию (Коркинский, 1945). Различия обусловлены, прежде всего, полным отсутствием гиперстенододержащих кристаллических сланцев среди городов баргузинской и яндонинской свит, в то время как имелись все необходимые компоненты для образования этой минеральной ассоциации. Это объясняется меньшей глубинностью метаморфических процессов, которые происходили в маломощной приподнятой кровле крупного гранитного батолита.

Контактовый метаморфизм, связанный с погружением бороздами в данной главе метаморфизм кембрийских отложений с тем, что в данной главе метаморфизм кембрийских отло-

жений в целом не разбирается, авторы работы останавливаются лишь на приконтактовых изменениях, вызванных интрузиями витимканского комплекса.

Граниты и гранодиориты витимканского комплекса, как правило, дают довольно узкий контактовый ореол. В верховьях р. Намамы и в бассейне р. Бирами широта контактовых ореолов колеблется в пределах 50—150 м. Здесь граниты прорывают когломераты, песчаники ( $\text{Ст}_1$ ) и зеленые сланцы пийонинской свиты ( $\text{Пт}_2$ ). На контакте с гранитами галька когломератов представлена раскристаллизованными известняками с мозаичной структурой, в цементе содержится, кроме карбоната и кварца, эпидот и появляется гетерогранобластовая структура. Песчаники превращены в кварц-карбонат-эпидотовую породу (до 20% эпидота), имеющую гетерогранобластовую структуру. Городы пийонинской свиты на контакте с гранитами превращены в разнообразные роговики (эпидот-приоксеноевые, роговиты обладают большой ассимиляционной способностью). На контактах гранодиоритов и диоритов в известняках появляются хлорит и бесцветная слюда. Ширина контактового ореола здесь незначительна (до 1—1,5 м).

Аналогичные контактовые изменения наблюдаются вокруг небольших массивов гранитов в среднем течении р. Того, в бассейне р. Согзёйная и массивов сиенитов в среднем течении р. Согзёйная и в вершине р. Того. На контакте с гранитами в среднем течении р. Того измененные породы представлены роговиками с гранатом (в сланцеватых пачках) и скарноидного типа породами (в известняках). Мощность этой зоны 10—20 м. Она выражена не везде отчетливо. В тех участках, где контактовые изменения затрагивают низкотемпературные породы (биотит-хлоритовая фация), контактовый ореол наблюдается хорошо. По южному контакту воздействие гранитов на более высокометаморфизованные породы почти не улавливается.

Вокруг массивов сиенитов наблюдается также неширокая контактовая полоса роговиков, скарноидных пород и уплотненных мраморов.

Как видно из сказанного выше, контактовые изменения, вызванные гранитами и сиенитами среднего течения Того и Согзёйной, ничем не отличаются от изменений, наблюдавшихся вокруг массивов гранитов, рвущих заведомо нижнекембрийские отложения. На основании этого, а также сходства химического и минерального состава граниты и сиениты среднего течения Того и Согзёйной относятся авторами условно к витимканскому комплексу. К этому же комплексу условно они относят также сиениты верховья р. Большая и среднего течения р. Алла, так как они имеют одинаковый химический и минеральный состав.

Контактовые изменения, связанные с вышеуказанными интрузиями, имеют характер наложенных процессов, приводящих к

образованию роговиков и скарноидных пород, зона которых на-кладывается на все фации предыдущих фаз метаморфизма. В участках, где она накладывается на более низкие ступени метаморфизма, контактовые изменения имеют характер прогрессивного метаморфизма, в участках высокой степени метаморфизма (амфиболитовая и альмандин-приоксен-роговообманковая фарада) — характер дифференциации.

**Метаморфические процессы в породах нижнего кембраия.** Кембрийские отложения отличаются от разнообразных верхне-протерозойских комплексов полным отсутствием признаков широко развитых метаморфических процессов. Наблюдаемые авторами узколокальные изменения приурочены, как правило, к kontaktам с гранитами, гранодиоритами и описаны выше. В других участках изменения кембрийских пород (частичная раскристаллизация известняков, появление хлорита, сериита) могут быть связаны с зонами многочисленных разрывных нарушений. Из всего изложенного выше можно сделать следующие выводы:

1. В центральной части Баргузинского хребта главную роль в метаморфическом преобразовании пород сыграл контактовый метаморфизм, связанный с гранитоидами баргузинского комплекса.

2. Выделенные фации контактового метаморфизма позволяют проследить постепенное нарастание метаморфизма при приближении к kontaktам с гранитоидами баргузинского комплекса.

3. Пересечение контуров фаций метаморфизма со стратиграфическими контурами и прослеживание фаций в различных стратиграфических горизонтах показывает, что процессы контактового метаморфизма были наложены на единую уже сформировавшуюся осадочно-вулканогенную серию, разделенную на пийонинскую и баргузинскую свиты. Возраст баргузинской свиты, как и всего комплекса вулканогенно-осадочных пород, определяется как верхнетретерозойский на основании того, что этот комплекс пород перекрывает со стратиграфическим согласием фаунистически охарактеризованными породами нижнего кембрая и разрезы его очень близки к разрезам верхнего протерозоя центральной части Икатского хребта и трехчленного байкальского комплекса Западного Прибайкалья.

## ГЕОМОРФОЛОГИЯ

Характер рельефа описываемого района определяется сочетанием двух противоположных генетических областей: области эрозионного тектонического рельефа и области аккумулятивно-тектонического рельефа.

Распределение этих областей отвечает контурам тектонических депрессий и окружающих их высокогорных поднятий. К первым относятся Баргузинская и Байкальская впадины, ко-

вторым — Баргузинский хребет. Крупные вертикальные перемещения явились важнейшим рельефообразующим фактором. Владины сыграли роль местных базисов эрозии, на фоне которых происходило расчленение приподнятого участка.

Область эрозионно-тектонического рельефа в свою очередь подразделяется на средне- и высокогорный альпинотипный рельеф с преобладанием ледниковых форм (абс. отм. от 1300—1400 до 2700 м) и средногорный эрозионно-денудационный рельеф со стяжанными формами рельефа (абс. отм. от 1000 до 2000 м).

Область аккумулятивно-тектонического рельефа (Баргузинская впадина) подразделяется на предгорную наклонную равнину, сложенную конусами выноса и флювиогляциальными отложениями; холмистый моренный ландшафт (камы, морены и т. д.); ландшафт современных эрозионно-аккумулятивных форм.

Область эрозионно-тектонического рельефа занимает более <sup>4/5</sup> площади района и приурочена, как отмечалось выше, к Баргузинскому хребту, имеющему здесь северо-восточное простирание ( $40^{\circ}$ ).

Средне и высокогорный альпинотипный рельеф с преобладанием ледниковых форм приурочен к центральной части юго-восточному склону Баргузинского хребта (бассейн рек Алла, Улогна, верховья рек Кабаньей, Штрандлы, Согёйной, Топо). На юго-востоке граница вплотную подходит к Баргузинской впадине, отделяясь от последней резким тектоническим уступом. На северо-западе альпинотипный рельеф постепенно переходит в более сплаженный. Приуроченность альпинотипного рельефа к юго-восточному склону Баргузинского хребта связана с асимметричным строением последнего. Водораздельная линия между реками бассейна оз. Байкал и притоками р. Баргузин смешена в сторону Баргузинской впадины. Поэтому северо-западный склон более длинный (от 40 до 60 км) и относительно более пологий, юго-западный гораздо короче (от 20 до 30 км) и резко обрывается к долине р. Баргузин. Соответственно свинуты и высоты в сторону р. Баргузин. В интервале между верховьями рек Алла и Улогна они достигают 2500—2714 м над уровнем моря, в то время как наибольшие высоты северо-западного склона колеблются в пределах 2000—2300 м. Все это обусловило более интенсивное расчленение юго-восточного склона и относительно слабое расчленение северо-западного.

Высокогорный альпинотипный рельеф характеризуется нагромождением острых, часто с отвесными стенками пиков, слагающихся как главный, так и второстепенные водоразделы между речками одного и того же бассейна. Относительные превышения вершин над поймами долин здесь составляют 1000—1500 м и более.

Средне- и высокогорный рельеф со стяжанными формами приурочен к северо-западному склону хребта. В отличие от альпинотипного рельефа здесь наблюдаются выровненные водораздельные пространства с мягкими очертаниями (межкуречья Томпуды и Сиргили, частично между реками Томпудой и Согзёйной, в бассейне р. Бирамья). Реже в этих участках встречаются формы с усеченной плоской вершиной. Такие же стяженные участки наблюдаются в водораздельной части Баргузинского хребта, образуя перевалы из рек бассейна р. Баргузин в реки бассейна оз. Байкал (перевал из верховий р. Алла в верховьях р. Согёйная — левый приток р. Томпуда; перевал из р. Улогна через ее правый приток р. Нюндю в р. Топо — левый приток р. Томпуда).

Эти перевальные стяженные участки своим происхождением обязаны ледниковой деятельности. Относительное превышение водораздельных пространств над поймами долин здесь также достигает 1000—1500 м.

Несмотря на указанную контрастность, характерную как для рельефа с альпинотипными, так и с более стяженными формами, легко обнаруживается, что вершины крупнейших водоразделов вследу отличаются более или менее выраженной одновысотностью. Колебания абсолютных вершин водоразделов обычно невелики и составляют 200—300 м. Если мысленно соединить эти вершины, то получим слабо волнистую поверхность.

Эта поверхность некогда существовала и представляла тот исходный рельеф, на фоне которого происходило развитие современных форм рельефа.

Определющим элементом области эрозионно-тектонического рельефа являются ледниковые формы, представленные карами, цирками, трогами и карлингами, являющимися следами мощного оледенения и прекрасно сохранившимися в этой высокогорной области.

Наиболее интенсивное развитие каров наблюдается непосредственно в районе главного водораздела Баргузинского хребта и прилежащих к нему водоразделов рек Штрандлы, Кабаньи, Штранда — Согёйная, Томпуда — Сиргили и водоразделов рек юго-восточного склона. Здесь кары растянуты сплошь вдоль водоразделов. В сторону оз. Байкал насыщенность склонов карами несколько уменьшается. Как правило, кары развиваются по обеим склонам водоразделов, часто соприкасаясь, своими верховьями, образуя узкие острые гребневидные водоразделы и карлинги.

Кары расположены на высоте от 1300 до 1400 м над уровнем моря. Размеры их различны: от небольших в несколько десятков метров до сотен метров, достигая 1,5—2 км в ширину. Глубина каров колеблется в пределах от 300 до 500 м, иногда достигая и большей величины. Стены каров почти отвесны, сложены, как правило, коренными породами и лишь внизу переходят в более

пологие склоны за счет осыпей. Дно каров большей частью плоское, обрывающееся ступенью вниз к реке. В них имеются устьевые ступени (ригели), чаще не проплывные реками, а на дне их расположены озера, дающие начало рекам и ручьям. Ручьи и реки, пропиливая устьевые ступени, образуют живописные каскады и водопады. Нередко плоское дно каров заболочено. Кары, часто соединяясь, образуют амфитеатры. Дно таких амфитеатров отличается резкой ступенчатостью. Количество таких ступеней достигает иногда пяти, обычно меньше. Ступени разделены ригелями.

Какой-либо закономерности в приуроченности каров к склонам определенной экспозиции не наблюдается. Кары интенсивно развиты как на склонах северной, так и южной экспозиции и отличаются свежестью форм, особенно кары, расположенные на склонах северной экспозиции. Это может свидетельствовать о сравнительно недавнем оледенении, а также о том, что кары и цирки развивались и продолжают развиваться в последнедавнее время. В противном случае они были бы разрушены под действием хотя бы одного морозного выветривания.

Материал, образующийся в процессе морозного выветривания, непрерывно транспортируется и выносится в пониженные участки долин. Всды, совершающие эту работу, вместе с этим разрушают коренные породы, осуществляя регressiveную эрозию. Наличие и циркуляция этих вод тесно связаны с развивающимися снежниками. Здесь снег начиная таять со дна цирка или кара. На стенах снег часто задерживается до августа месяца, а иногда остается и на следующий год. Воды, образующиеся от таяния снега, выносят большое количество мелкообломочного материала, тогда как верхние части стенок остаются прикрытыми снегом. Вследствие этого цирк или кар развивается своей нижней частью или подошвой, верхние же части уравновешивают этот процесс осыпями и обвалами.

На водораздельных пространствах с более слаженными формами, являющимися участками накопления фирна и льда, за счет которого питались ледники долин рек, существенную роль в морфологии их играют «куручавые скалы», бараны лбы, эзарационные ванны, часто заполненные водой и превращенные в озера. Как правило, от каров и участков накопления льда начинаются троговые долины, которые являются ложками больших шинства рек района (Томпуда, Сиргли, Топо, Согзэнная, Шегнанда, Кабанья, Бирамья, Алла, Сухитке, Улюнга и многие другие более мелкие притоки этих рек). Троты хорошей сохранности имеются в долине р. Алла, у места выхода ее из гор в долину р. Баргузин и у многих более мелких боковых притоков р. Согзэнная, верховьях р. Сиргли и др. Лучшая сохранность трогов в боковых притоках объясняется более слабой эрозионной деятельностью, в то время как троговые долины более крупных рек значительно изменины процессами эрозии и денудации

и часто имеют V-образную форму. Во многих трогах хорошо видны плечи (р. Алла и др.). Троты боковых притоков, как правило, висячие, их устья открываются над дном главной долины на высоте 100—150, реже 250—300 м.

Большое влияние оледенение оказalo на формирование продольных профилей долин, которые почти повсеместно имеют ступенчатое строение. Уступы обычно приурочены к устьевым частям крупных боковых притоков. Часто в верховьях долины широкие и плоские с многочисленными «баранными лбами», ниже переходят в троги.

В современный период в области эрозионно-тектонического рельефа происходит энергичная водно-эрэзионная переработка ледниковых форм долины. Русла рек врезаются в дно трогов, образуя при этом узкие каньоны, коридоры и ущелья. Глубокое врезание наблюдается на перегибах продольного профиля в устьевых частях долин рек и особенно их притоков. Глубина врезания достигает от 5—10 в верховьях до 50 м в приступьевых частях (реки Алла, Сухитке, Топо и др.). Часто троговые долины превращены в V-образные.

Интенсивность расчленения рельефа ледниковой и эрозионной деятельностью в меньшей степени зависит от состава горных пород и в большей степени от тектоники. Большинство притоков заложено по тектоническим зонам. Разломы были использованы и верховьями многих более крупных рек (верховья рек Алла, Гравая и Левая Топо и др.). Надо полагать, что крутой поворот р. Томпуда объясняется приуроченностью ее к разлому.

Несколько отличается среднегорный рельеф, развитый на юго-восточном склоне Баргузинского хребта, между реками Шеберсо и Индихон. Этот участок представляет собой тектонический клин, зажатый между двумя сбросами (см. геологическую карту). Для него характерны мягкие округлые формы рельефа и отсутствие ледниковых форм.

Из второстепенных процессов, влияющих на формирование современной поверхности области, крупная роль принадлежит морозному выветриванию, создающему громадные эоловиально-делювиальные пласти на водоразделах и склонах гор, и «вечной» мерзлоте, способствующей более быстрому разрушению пород на склонах южной экспозиции и консервации возникающих форм на склонах северной экспозиции.

В долинах почти всех крупных рек (Кабанья, Шегнанда, Томпуда, Согзэнная, Топо, Сиргли, Алла и др.) отчетливо прослеживаются две надпойменные террасы. Высота первой колеблется от 1 до 2 м, второй — от 10 до 30 м. По р. Улюнга отмечается три террасы: первая высотою до 2 м, вторая 5—6 м, третья 30—40 м. Сложенны все террасы преимущественно рыхлым песчано-галечным материалом, часть которого имеет лед-

Область аккумулятивно-тектонического рельефа занимает около  $\frac{1}{5}$  района и терригриально приурочена в Баргузинской впадине (абс. отметки от 533 до 935 м).

Предгорная наклонная равнина примыкает непосредственно к тектоническому уступу, разделяющему эрозионно-тектонический и эрозионно-аккумулятивную области и прослеживается в виде пологих вдоль юго-восточного склона Баргузинского хребта. Ширина ее непостоянна и колеблется от 8 км на юго-западе (низовье р. Алла) до 0,3—0,5 км на северо-востоке, в районе Дыренского источника. Она наклонена в сторону от подножия Баргузинского хребта к пойме р. Баргузина. Угол наклона не-постоянный, наибольший наклон наблюдается у подножия склона хребта ( $8-10^\circ$ ), по направлению к пойме р. Баргузина наклон едва достигает  $1,5-2^\circ$ . Поверхность наклонной равнины расчленена на увалообразные гряды долинами многочисленных рек и ручьев как временных, так и постоянных, стекающих с Баргузинского хребта. Наибольшая интенсивность расчленения наблюдается непосредственно у подножия хребта и постепенно затухает по направлению к пойме р. Баргузин. Равнина сложена многочисленными конусами выноса временных и постоянных водотоков и флювиогляциальными отложениями за счет моренных отложений долин рек, подвергавшихся оледенению.

Холмистый моренный ландшафт пользуется ограниченным распространением и развит только у места выхода р. Алла из гор. Он представляет собой неправильно всхолмленную поверхность с холмами и грядами и расположеными между ними многочисленными котловинообразными бессточными впадинами. Вдоль склона он прослеживается до 3 км и в сторону долины р. Баргузин до 1 км.

Ландшафт современных эрозионно-аккумулятивных форм охватывает пойму р. Баргузин с комплексом низких террас. Этот рельеф характеризуется ровной, слабо наклоненной поверхностью вниз по течению (на 11 км протяженности реки абсолютная высота уреза воды понижается на 9 м). Незначительный уклон вызывает заболачивание поймы, образование кочкарника и многочисленных озер. Озера (старицы), зарастая с берегов, образуют торфяники (урочище Олсо).

Меандрирование и смена русла рекой приводят к образованию старич и проток, что до некоторой степени разнообразит рельеф местности. Сравнительно редко на фоне общей ровной поверхности встречаются возвышения в виде курганов (урочище Олсо, замка Зун-Дян). Высота их от 4—5 (замка Зун-Дян) до 10—15 м (урочище Олсо); форма округлая, овальная, удлиненная вдоль по долине; сложены они суглинком.

Характерно почти полное отсутствие террас в правобережной части. Одна терраса хорошо прослеживается по левобережью р. Баргузин, начиная от южной части плоскости листа дна на северо-восток до ледника, расположенного юго-восточ-

нее замка Зун-Дян. Высота уступа террасы от 20—22 на юго-западе до 4—5 м на северо-востоке. Поверхность террасы ровная, слегка всхолмленная, с общим повышением в сторону от р. Баргузин. Данная терраса образовалась в результате размыва р. Баргузин приподнятого песчаного массива (верхнего куятуна), представленного песчано-глинистыми отложениями, вовлеченного в голоцене в медленное поднятие на крыле Икатского хребта.

Общее распределение выделенных типов рельефа (эрозионно-тектонического и аккумулятивно-тектонического), как и особенности рельефа внутри горной страны, совершенно не отражают пликативных форм древней складчатости и лишь в очень слабой степени зависят от состава горных пород, слагающих тот или иной участок.

Рельеф данной области возник в результате сложных тектонических процессов, характеризующихся сочетанием волнообразных движений земной коры (аркогенез, по Е. В. Павловскому, 1948) с мощными дислокационными нарушениями. Приводимые участки (Баргузинский хребет) впоследствии подвергались эрозионному расчленению, а участки опусканий стали областями аккумуляции (Баргузинская впадина).

Дифференциальные движения начались на фоне пенепелизированного рельефа, наибольшее выравнивание которого приурочено к нижнетретичному возрасту. Первые дифференциальные подвижки происходили в верхнетретичное время с заложением областей поднятий и опусканий. В конце третичного и начале четвертичного времени эти движения усиливаются, приводя в конце концов к формированию высоких гор (до 2700 м) и глубоких впадин (1500—1700 м).

Процесс формирования впадин был длительным и сложным. Вертикальные перемещения дна впадин и горных участков чередовались с длительными остановками, во время которых в горах успевал выработать достаточно устойчивый рельеф. В частности, в долине р. Верх. Ангара Н. В. Дмитриашко (1939) выделяет два уровня денудации с относительной высотой порядка 200—400 и 600—800 м.

Рассматривая строение долин горной области, В. В. Домбровский (1940) отмечает, что история формирования их отличалась значительной сложностью. Наличие многочисленных террас показывает, что углубление долин совершилось не непрерывно, а сопровождалось значительными остановками. Им выделено пять последовательных этапов понижения базиса эрозии. В верхнечетвертичное время после формирования впадин и участков поднятия последние были захвачены мощным оледенением, связанным в основном с резким похолоданием.

Последующая верхнечетвертичная история горной области определяется интенсивными процессами водной эрозии и физи-

ческого выветривания, в ряде участков уже уничтоживших характерные черты более древних элементов рельефа.

Впадины на протяжении всего времени являлись областями аккумуляции материала, транспортируемого с горных областей.

## ПОДЗЕМНЫЕ ВОДЫ

Подземные воды по условиям залеганий делятся на воды трещин: а) коры выветривания, б) трещинно-жильные (напорные) в) и воды четвертичных отложений.

Трещинные воды коры выветривания во многих местах Законсервирована покрышками ее вечномерзлыми грунтами, а в обнаженных местах атмосферные осадки, питающие эти воды, вследствие крутизны склонов быстро скатываются в реки и озера. Выходы данных вод имеют debit до 2 л/мин, местами они проявляются только в виде увлажнения пород в сухое время.

Напорные трещинно-жильные воды связаны с зонами тектонических нарушений и трещинами, благодаря чему они, по видимому, циркулируют на больших глубинах. Последнее подтверждается высокой температурой и минерализацией воды ряда сероводородных источников, имеющихся в районе. Область питания рассматриваемых вод находится в центральной части Баргузинского хребта, а область разгрузки в более низких местах у подножия гор и в долинах рек. Эти области, вероятно, связаны между собой по принципу сообщающихся сосудов, соединительные каналы которых проходят через большие глубины. Все сероводородные источники как горячие, так и холодные являются следствием молодых (калинозойских) тектонических движений земной коры в Байкало-Баргузинской горной области. Дыренский (Кучтырский) горячий источник, Аллинский, Согзенский, Улагнский холодные источники расположены вблизи региональных тектонических разломов.

Ряд холодных источников отмечается в долине рек Улугна и Нюндо, приуроченных к контакту кристаллических известняков с амфиболовыми гнейсами. Дебит до 3 л/сек. Все рассмотренные источники расположены на юго-восточном склоне Баргузинского хребта. Северо-западный склон Баргузинского хребтаведен выходами горячих и холодных источников.

Трещинно-жильные воды в горной части района появляются также в виде инфильтрационных источников, имеющих повсеместное распространение. Наиболее крупные выходы встречаются в бассейнах рек Алла и Бирамъя, приуроченные к многочисленным разломам. Обычно воды выбирают из тектонических трещин на крутых склонах, из рыхлых отложений в нижней части обнаженных склонов. Дебит их не более 5 л/мин. Вода холодная, прес-

воды четвертичных отложений распространены в долинах рек, на пологих склонах, плоских водоразделах и озерных котловинах. Приурочены к аллювиальным отложениям, в меньшей мере к ледниковым, элювиально-делювиальным отложениям.

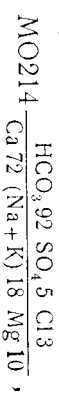
Благодаря хорошей фильтрации рыхлых отложений часто в некоторых местах исчезает, уходя под наносы (сухие русла р. Ендыкык, устьевые части боковых притоков рек Томпуда, Алла и Бол. Карпусу). На режим описываемых вод оказывает влияние вечная мерзлота. Наиболее активно грунтовые воды действуют в теплое время года, когда оттапивает мерзлый слой, в то время как зимой большая часть рыхлых отложений промерзает и выключается из водообмена. Грунтовые воды оттаиваются к наледмерзлотным. Запас грунтовых вод пополняется за счет атмосферных осадков и поверхности водотоков, а также за счет трещинных вод и таяния снежников. Водоупором для грунтовых вод служит поверхность вечной мерзлоты, залегающей на глубинах от нескольких десятков сантиметров до 2—3 м.

В Баргузинской впадине водоупором служит простой глинистых пород. У крупных рек имеются русловые и подрусловые талики, поэтому «вечная» мерзлота залегает глубже. В случае неглубокого залегания «вечной» мерзлоты развиты явления заболачивания в долинах рек, на пологих склонах и плоских водоразделах. Большое количество болот пойменного типа находится в долине р. Баргузин. Их образование связано с весенними разливами.

Выходы грунтовых вод обычно наблюдаются на склонах и у подножия долин и гор в виде родников, мочажин и болот с различнымdebitом. Глубина залегания грунтовых вод в Баргузинской впадине равна 15—20 м, в колодцах в пос. Алла, но debit воды небольшой, так что потребности населения удовлетворяются не полностью. Результатом взаимодействия грунтовых вод и сезонной мерзлоты является группа озер, расположенных в правобережной части Баргузинской впадины, в 3—4 км к юго-западу от Дыренского источника. Озера имеют овальную форму, глубиной до 1,5 м. Дно сложено илом. По берегам озер часто встречаются бурые высотой до нескольких метров, диаметром 20—30 м, с концентрическими кругопадающими трещинами, наклоненными внутрь. Бугры сложены бурым суглинком, покрытым слоем почвы. По мнению авторов, эти бугры являются результатом зимнего промерзания слоя грунта в условиях увлажнения изолированной линзы почвы. Гидростатическое давление и распределение увлажненного грунта при его замерзании приводило к выпучиванию покрышки из рыхлых отложений над таликами. Нужно отметить, что описываемый участок находится частично в зоне регионального тектонического разлома. Отсюда следует, что грунтовые воды на глубине могут питаться водами горячих сероводородных источников.

Проблема водоснабжения в районе разрешается сравнительно легко, так как всюду имеются реки, ручьи, озера с достаточным дебитом. В пределах Баргузинской впадины благодаря обилию крупных поверхностных водослов и наличию колодцев водоснабжение не вызывает затруднений. Поверхностные и подземные воды в горной части района отвечают требованиям санитарии: имеют хорошие вкусовые качества, не загрязнены и не заражены болезнетворными организмами.

Подземные воды Баргузинской впадины в санитарном отношении также хорошего качества, так как они залегают глубоко, подвергаясь фильтрации и очищению. Например, анализ пробы, взятой в болотистой местности из источника ручья, протекающего на участке Дыренского источника, дал следующие результаты: химический состав по Курлову характеризуется формулой



ионы  $\text{NH}_4$ ,  $\text{NO}_3$ ,  $\text{NO}_2$ ,  $\text{CO}_3$ , а также  $\text{H}_2$  не обнаружены. Вода без цвета, без запаха и без осадка. Жесткость общая  $7,46^\circ$ , устремляя  $4,20^\circ$ , постоянная  $3,26^\circ$  нем. град,  $\text{pH} = 7,6$ .

## ЛИТЕРАТУРА

### Опубликованная

- Бетехтин А. Г. Минералогия. Госгеолиздат, 1951.
- Думитрашко Н. В. Геоморфологический очерк Верхнеангарской котловины. Тр. ин-та геогр. вып. XXXI, 1939.
- Думитрашко А. Н. Геоморфология и палеогеография Байкальской горной области. Тр. ин-та геогр. АН СССР, 9, 1952.
- Заваричин А. Н. О пегматитах как образованиях промежуточных между изверженными горными породами и рудными жилами. Зап. Всерос. минерал. общ., II сер., часть 76, 1947.
- Засебарт Д. К. Структуры Витимо-Байкальского региона. Сб. матер. по геологии золота и платины. Вып. 3. 1948.
- Коринский Д. С. Факторы минеральных равновесий и минералогические фации глубинности. Тр. Ин-та геол. наук АН СССР, вып. 12, 1940.
- Коринский Д. С. Гранитизация как магматическое замещение. Изв. АН СССР, сер. геол., № 2, 1952.
- Коринский Д. С. Очерк метаморфических процессов. Основные проблемы в учении о магматических рудных месторождениях. 1955.
- Коринский Д. С. Закономерности ассоциаций минералов в породах архея Вост. Сибири. Тр. Ин-та геол. АН СССР, вып. 61, петрогр. сер., № 21, 1945.
- Коринский Д. С. Кристаллические толщи юго-западного Прибайкалья. Сибирская экспедиция Вост. Сибири. Тр. XVII сессии Междунар. геол. конгр. 1937 г., т. 5, М. ОНТИ, 1940.
- Котульский В. К. Геологические исследования в северо-западной части Баргузинского округа в 1911 г. Геол. исслед. в золотоносной обл. Сибири, вып. IX, 1913.
- Ладохин Н. П. О древнем оледенении Баргузинского хребта. Матер. по изучению производительных сил Бурят-Монгольской АССР, вып. 1, Улан-Удэ, 1954.
- Лопатин И. А. Краткий отчет о действиях Витимской экспедиции в 1865 г. Зап. Сиб. отд. Русск. геогр. об.-ва, кн. IX—X, отд. II, 1867.
- Миткевич Волчанская Е. Отчет о геологических исследованиях месторождения медных руд по р. Намаме. Геол. исслед. в золотоносн. обл. Сибири. Ленский район, вып. IX, 1913.
- Обручев В. А. История геологического исследования Сибири. Период II.
- Обручев В. А. Геология Сибири, том I, изд. 1935 г.
- Оленев А. И. Некоторые новые данные о рельефе северо-западного Забайкалья. Изв. Всес. геогр. об.-ва, том 85, вып. 5, 1953.
- Павловский Е. В. Геологическая история и геологическая структура Байкальской горной области. Тр. Ин-та геол. наук АН СССР, вып. 99, геол. сер., № 5, 1948.

- Павловский Е. В., Хреноов П. М., Беличенко В. Г. Древние толщи Баргузинско-Битумского района Забайкалья. Вопросы геол. Азии, т. 1, 1954.
- Павловский Е. В. Тектоника Саяно-Байкальского нагорья. Изв. АН СССР, сер. геол., № 10, 1954.
- Салоп Л. И. Нижний палеозой Средне-Битумской горной страны. Госгеолиздат, 1954.
- Соловьев С. П. Распределение магматических горных пород в СССР. Госгеолиздат, 1952.
- Смирнов С. С. Зона окисления сульфидных месторождений. Тернер Ф. Эволюция метаморфических пород. Изд. иностр. литерат., 1951.
- Фролова Н. В. О методике изучения и стратиграфического расчленения архейских образований на примере архея Вост. Сибири. (Вып. геол. Азии) т. II, 1955.
- Харкев А. Метаморфизм. ОНТИ, М., 1934.
- Хренов П. М. Магматические горные породы центральной части Икатского хребта и некоторые вопросы металлогении. Матер. по изуч. произв. сил БМАССР, вып. 3, 1957.
- Шахарестова К. А. Новые данные по геологии юго-западной части Икатского нагорья. Бюлл. Моск. общ. испыт. прир., отд. геол., вып. 23(5), 1948.
- Шахарестова К. А. Докембрийские и палеозойские интрузии юго-западной части Битумского нагорья. Очерк по геол. Сибири, вып. 7, 1954.
- Шобогоров П. Ч. Новая находка кембрийской фауны в метаморфической серии Байкальской горной области. АН СССР, т. 106, № 3, 1956.
- Ященко А. А. Об исследовании Байкальской горной области. Вопр. геогр., сб. 21, 1950.

#### Фондовые материалы

- Аверьянов В. А., Салоп Л. И. Геологический отчет Восточно-Байкальской партии (1939 г.) Фонды ИГУ, 1940
- Аверьянов В. А. Отчет Чивиркуйской геологострелочной партии. 1940—1941 гг. Фонды ИГУ.
- Бочков Д. А. Отчет о геологопоисковых работах по Уколкиту. Фонды ИГУ, 1936.
- Быстров П. В. Отчет о геологопоисковых работах по р. Намане и вершинам рек Нанитони и Анаджана в 1936 г. Фонды ИГУ.
- Гусева А. К. Полезные ископаемые Баргузинской тайги. Фонды ИГУ, 1940.
- Гурulev С. А., Каникин В. Л. и др. Геологическое строение Намандинского рудного района (отчет о геологическом поиске). Фонды ИГУ, 1954.
- Домбровский В. В., Гусева А. К. Ангаро-Баргузинская горная страна. Отчет о работах Верхнеангарской партии 1939 г. Фонды ИГУ, 1940
- Замарев С. М., Максимов И. И. Геологическое строение средней части Баргузинской впадины (отчет о результатах работ Баргузинской геолого-геоморфологической партии за 1953—1954 гг.). Фонды ИГУ.
- Колесников А. В., Анисимова З. М. Геологическое строение и полезные ископаемые Баргузинского хребта в бассейнах рек Томпуды, Алты, Сухите и др. Фонды ИГУ, 1957.
- Козулина И. М., Самарский В. А. Отчет о результатах работ в бассейне верхних течений рек Светлой, Томпуды и Фролихи (Северо-Байкальская партия, 1950 г.). Фонды ИГУ.
- Каникин В. Л., Сырепов Д. Ч. Геологическое строение бассейна реки Нанитони (отчет Каратской партии за 1954 г.). Фонды ИГУ.
- Салоп Л. И. Геологические исследования в Ангаро-Баргузинской партии за 1947 г. Фонды ИГУ, 1948.

Самарский В. А. Отчет о результатах геологоразведочных работ в районе рек Томпуды и Улона (Чивиркуйская геологопоисковая партия, 1950 г.). Фонды ИГУ, 1951.

Сасим П. С. Геология и минералогия редких и рассеянных элементов. Фонды ИГУ, 1957.

Фомин Н. И., Шербакин И. И., Колких Ф. С. Геологическое строение бассейнов рек Нанитони, Улона, Бирамы и правобережья верхнего течения р. Баргузин (Отчет Верхне-Баргузинской геологосъемочной партии за 1946 г.). Фонды ИГУ, 1947.

Фомин Н. И., Гурлев С. А. и др. Отчет о результатах поисково-разведочных работ Намандинской партии за 1951—1955 гг. Фонды ИГУ, 1956.

Худорожков. Геологопоисковые работы на золото в системе р. Нандин. Полевой отчет Верхне-Ангарской партии в 1935 г. Фонды ИГУ.

Шобогоров П. Ч., Гижя В. М. Геологическое строение бассейна р. Бирямы (отчет Биряминской партии за 1954 г.). Фонды ИГУ, 1955.

## О ГЛАВЛЕНИЕ

	Стр.
Введение	3
Стратиграфия	9
Архей	10
Верхний протерозой	12
Кембрий	19
Четвертичные отложения	24
Интрузивные образования	26
Тектоника	42
Метаморфизм	48
Геоморфология	59
Подземные воды	66
Литература	69

Геологическая карта СССР  
масштаба 1 : 200 000 Серия Прибайкальская

Лист № 49-IX Объяснительная записка

Редактор издательства *T. И. Матис*

Технич. редактор *B. В. Быкова* Корректор *P. Т. Хвостова*

Формат бумаги 60×92 $\frac{1}{16}$  Подписано к печати 4 III-1960 г.  
Бум. л. 2,25. Печ. л. 4,5. Уч.-изд. л. 4,52.  
Тираж 300 Зак. 03574

Картфабрика Госгеотехиздата